

Figura 1- Espectro de RMN de ^1H do intermediário de Knoevenagel (300 MHz, CDCl_3).

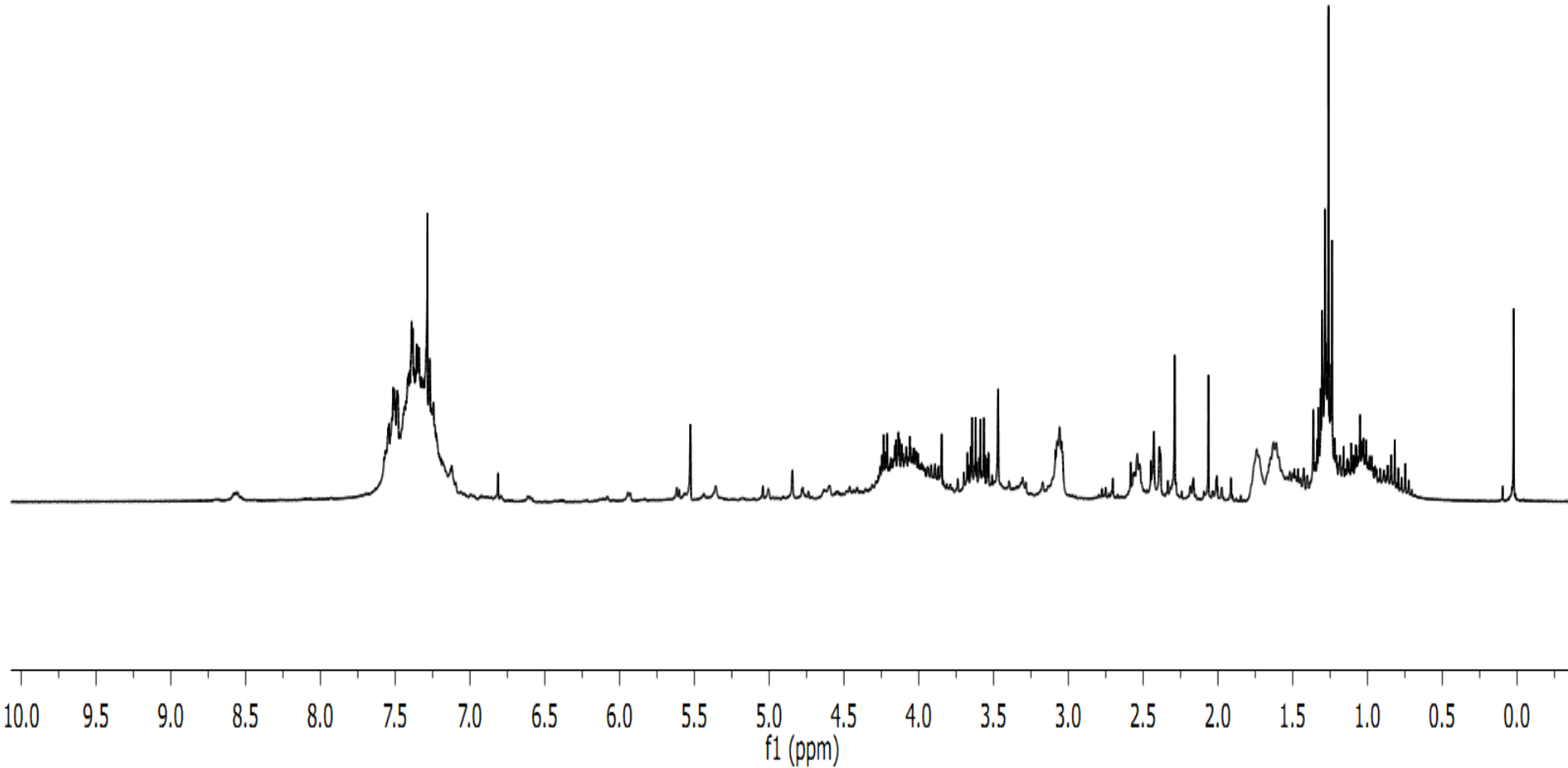


Figura 2- Espectro de RMN de ^1H da mistura de produtos (300 MHz, CDCl_3).

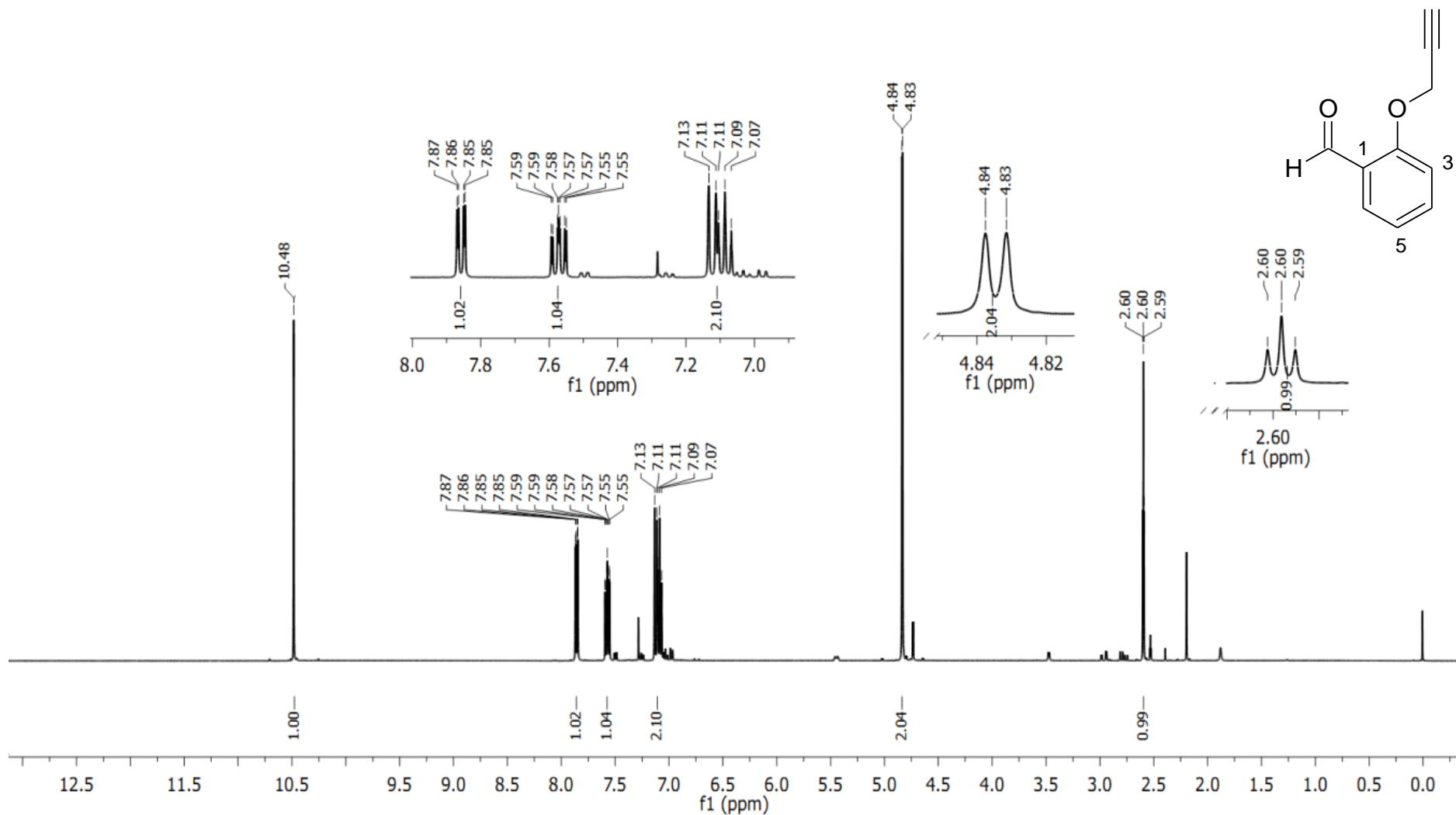


Figura 3- Espectro de RMN de ^1H de o-propargiloxy (400 MHz, CDCl_3).

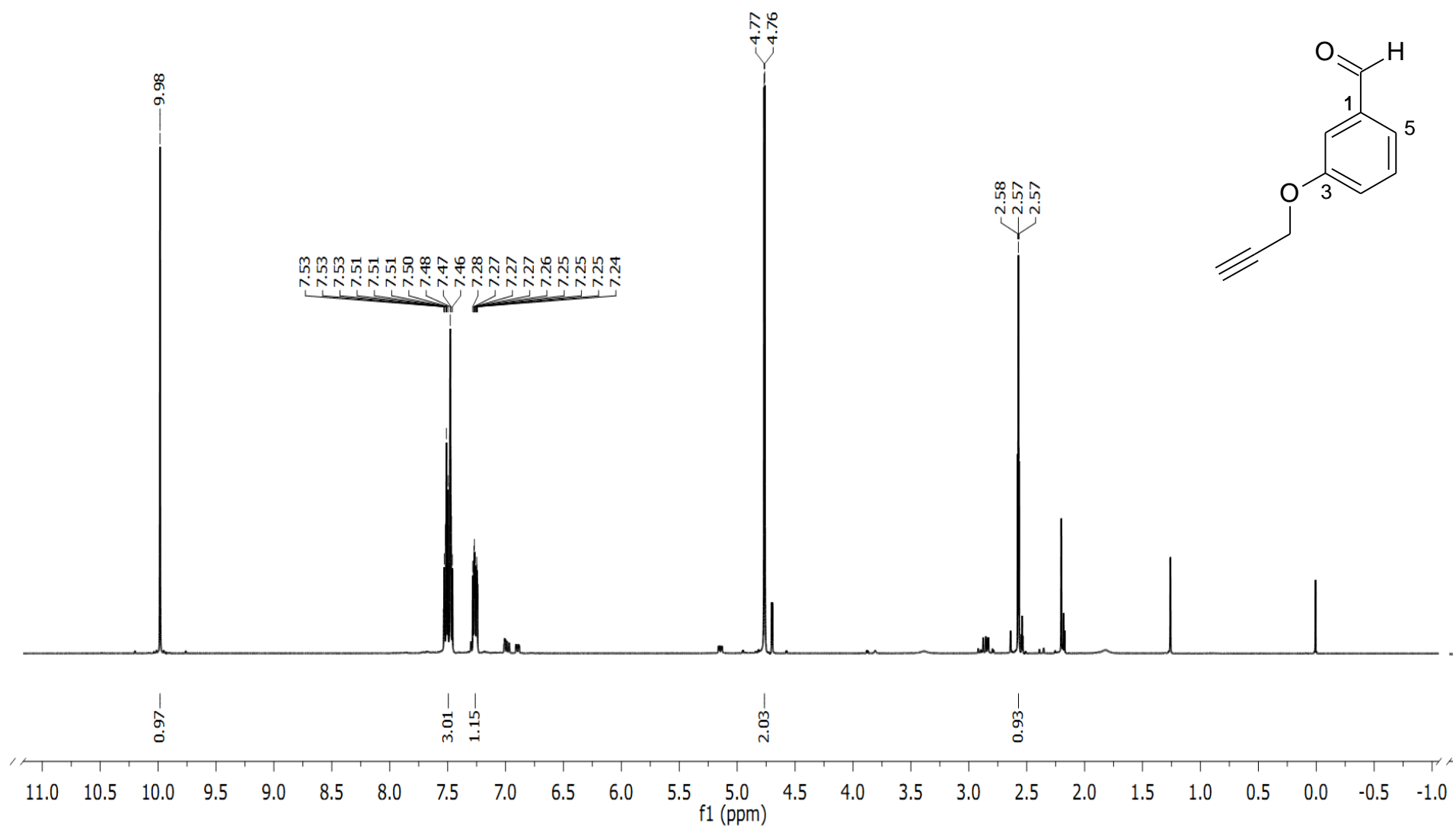


Figura 4- Espectro de RMN de ^1H de *m*-propargiloxi (400 MHz, CDCl_3).

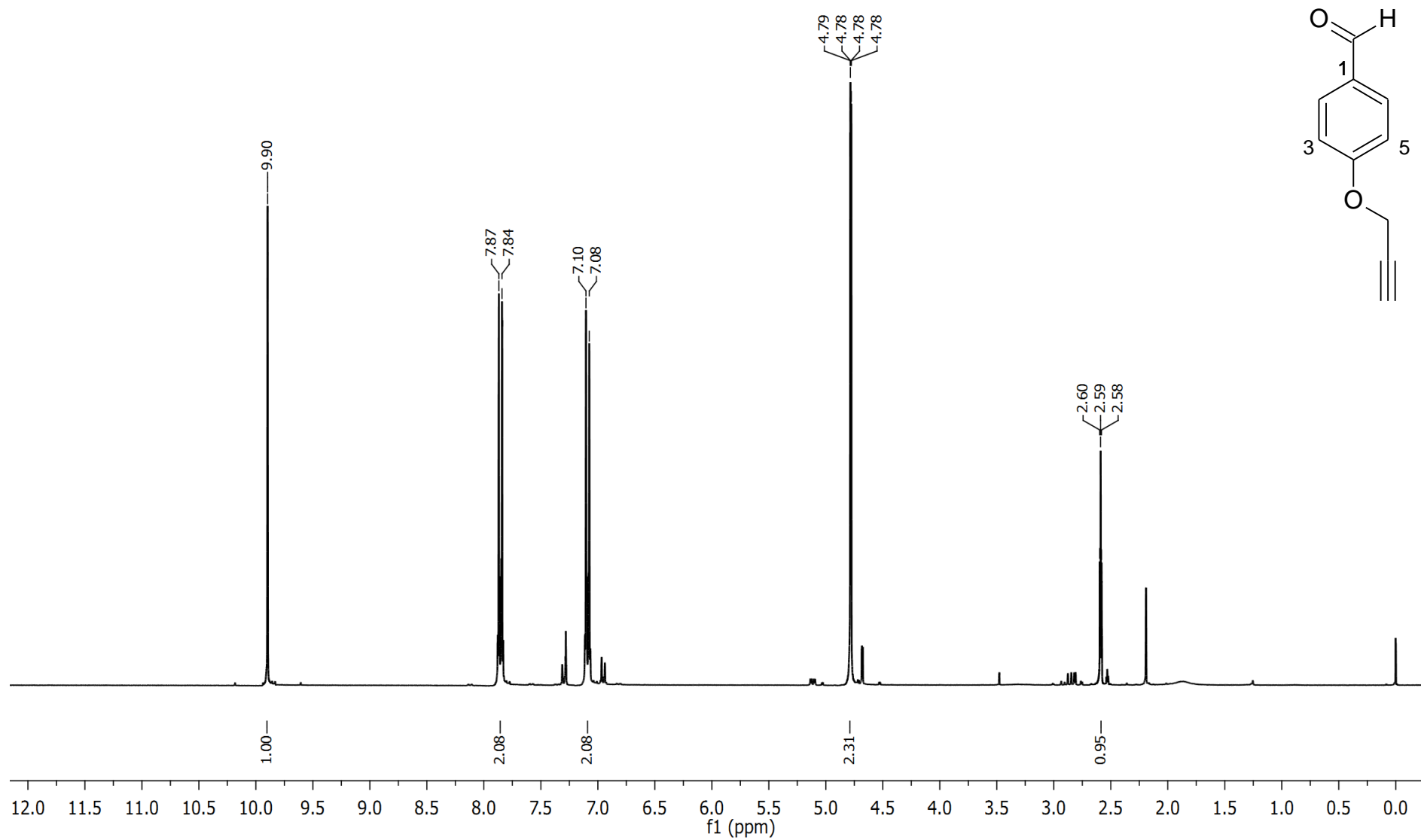


Figura 5- Espectro de RMN de ^1H de *m*-propargyloxi (400 MHz, CDCl_3).

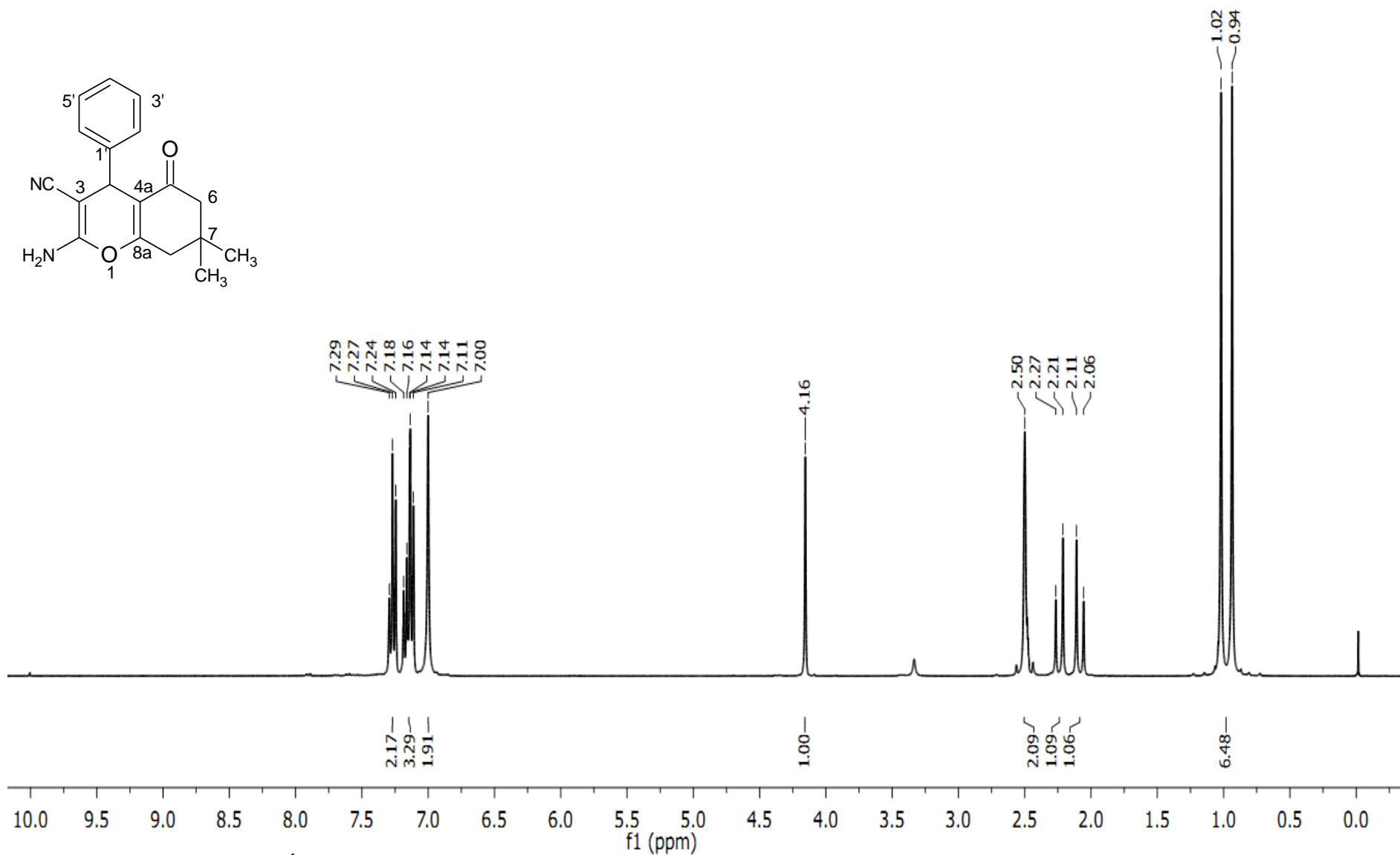


Figura 6- Espectro de RMN de ^1H de 4HP-1 (300 MHz, DMSO-d₆).

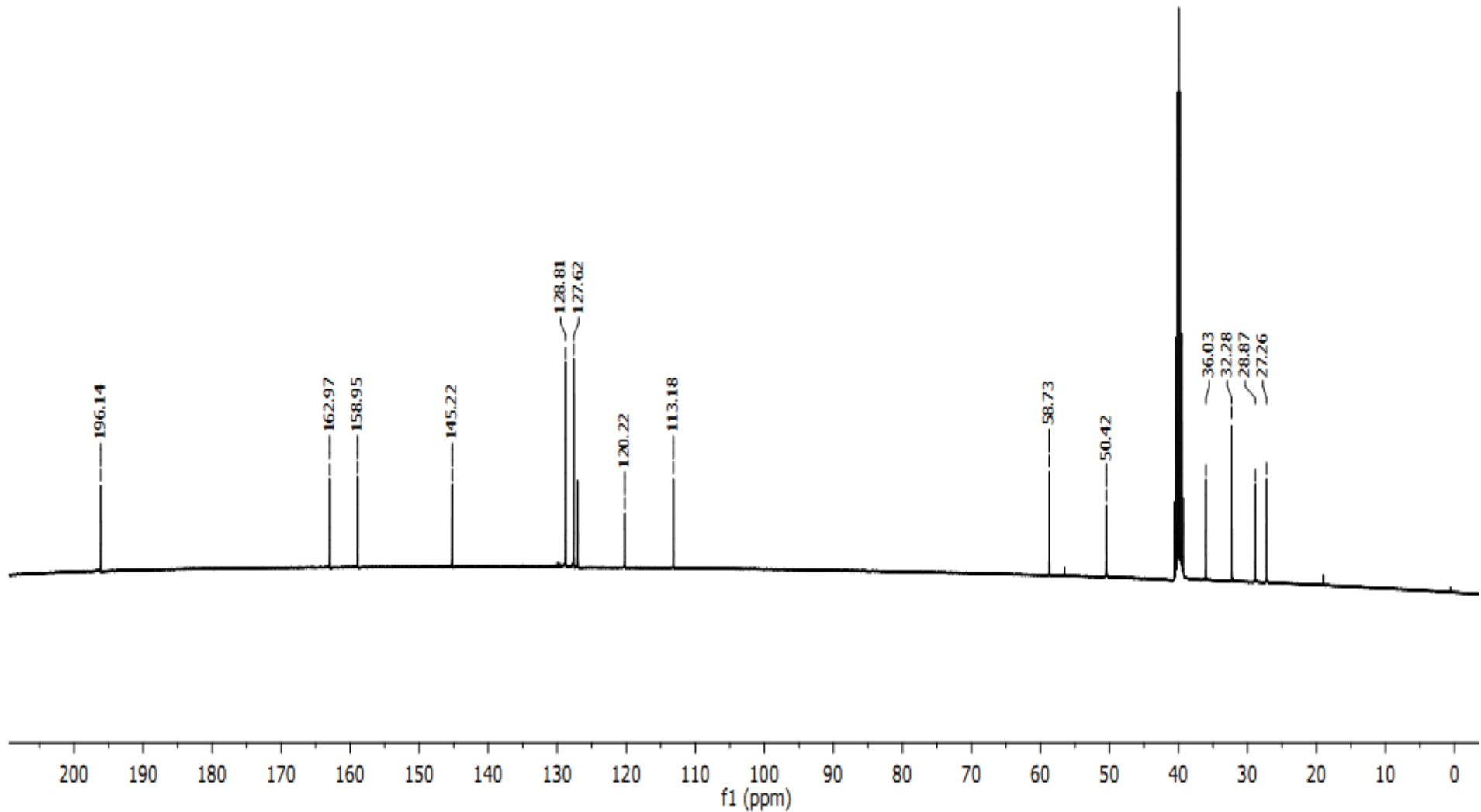


Figura 7- Espectro de RMN de ^{13}C de 4HP-1 (101 MHz, DMSO-d_6).

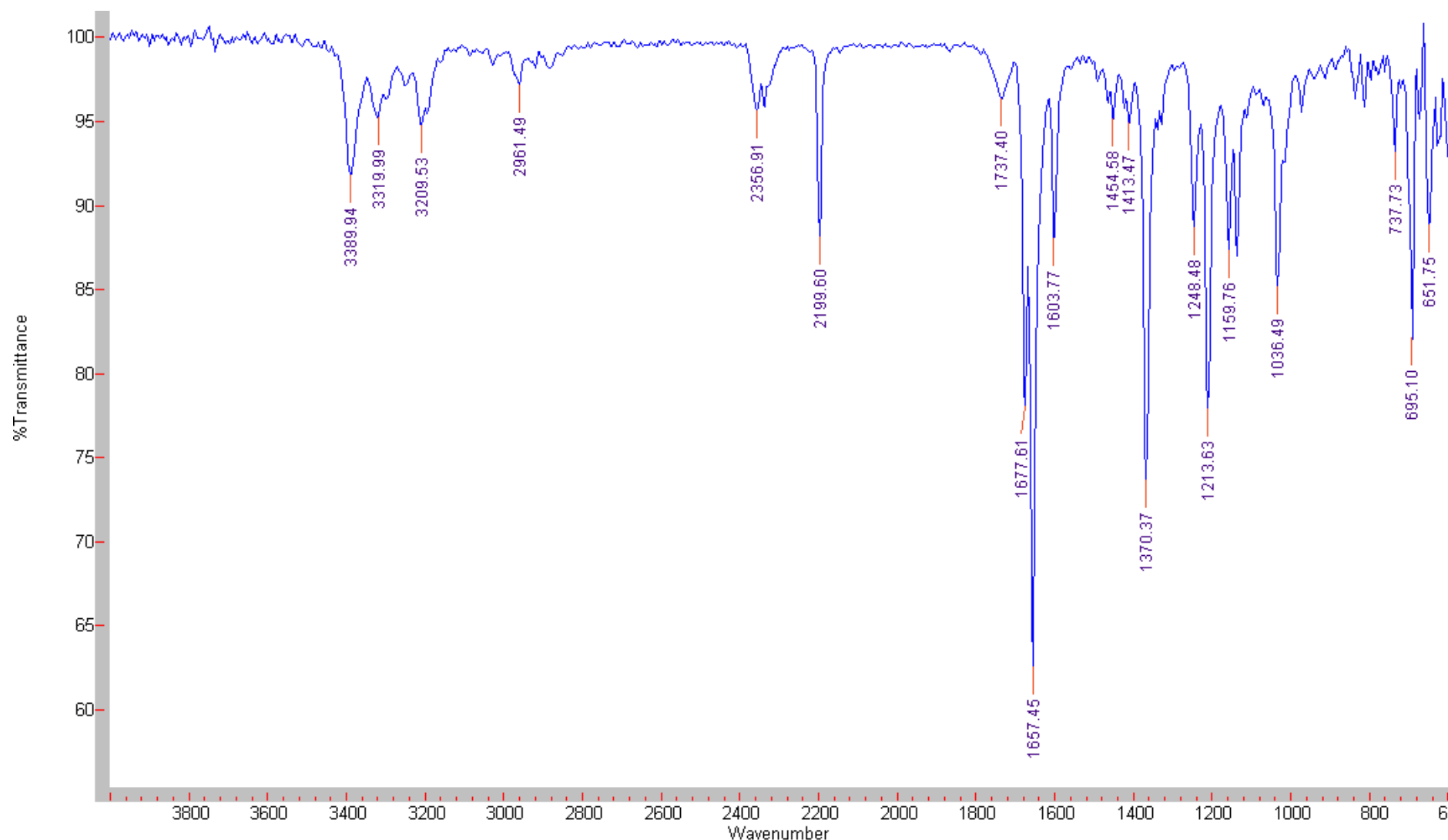


Figura 8- Espectro de IV de 4HP-1 (4000-600 cm⁻¹).

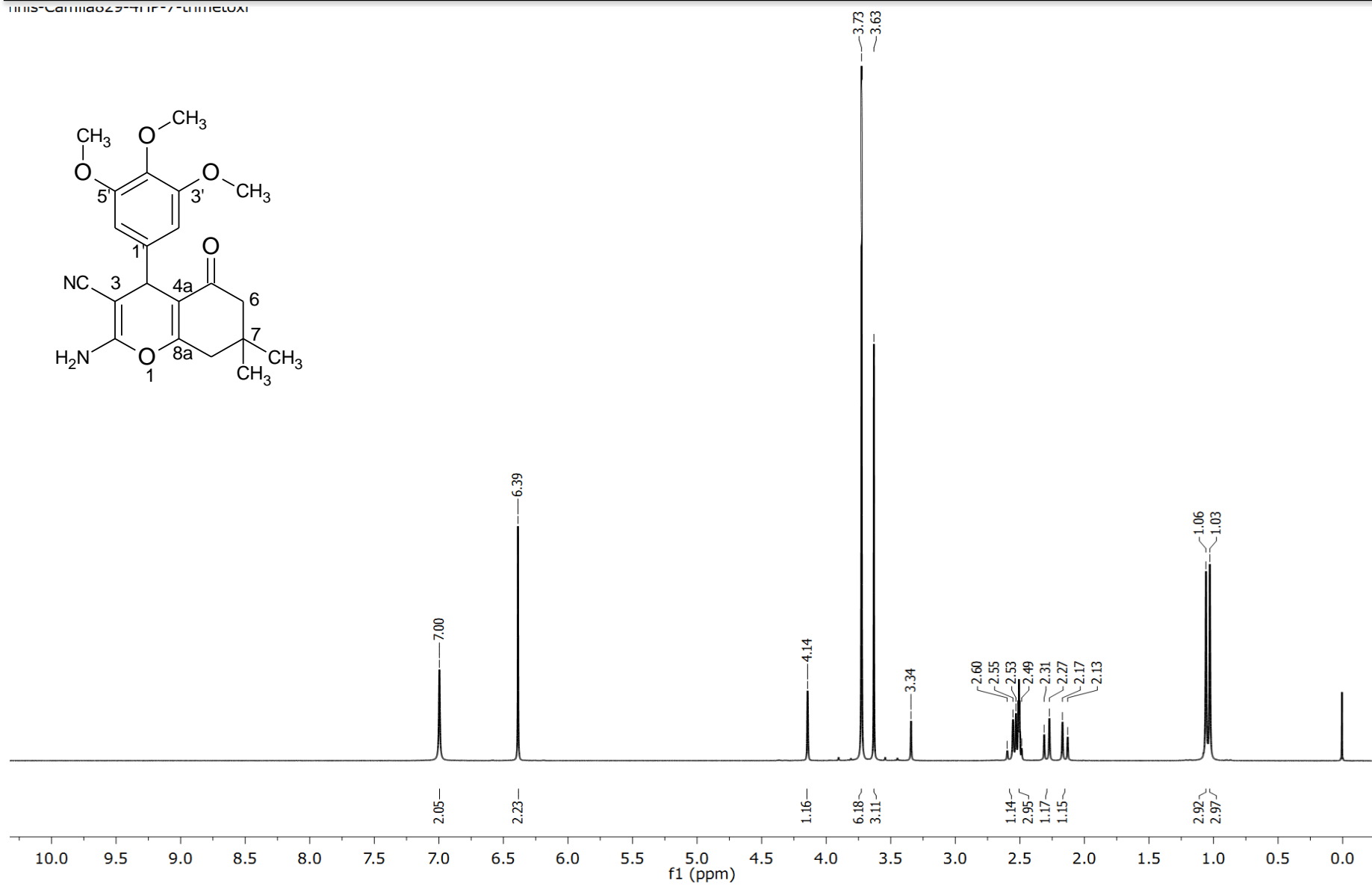


Figura 9- Espectro de RMN de ^1H de 4HP-2 (400 MHz, DMSO-d_6).

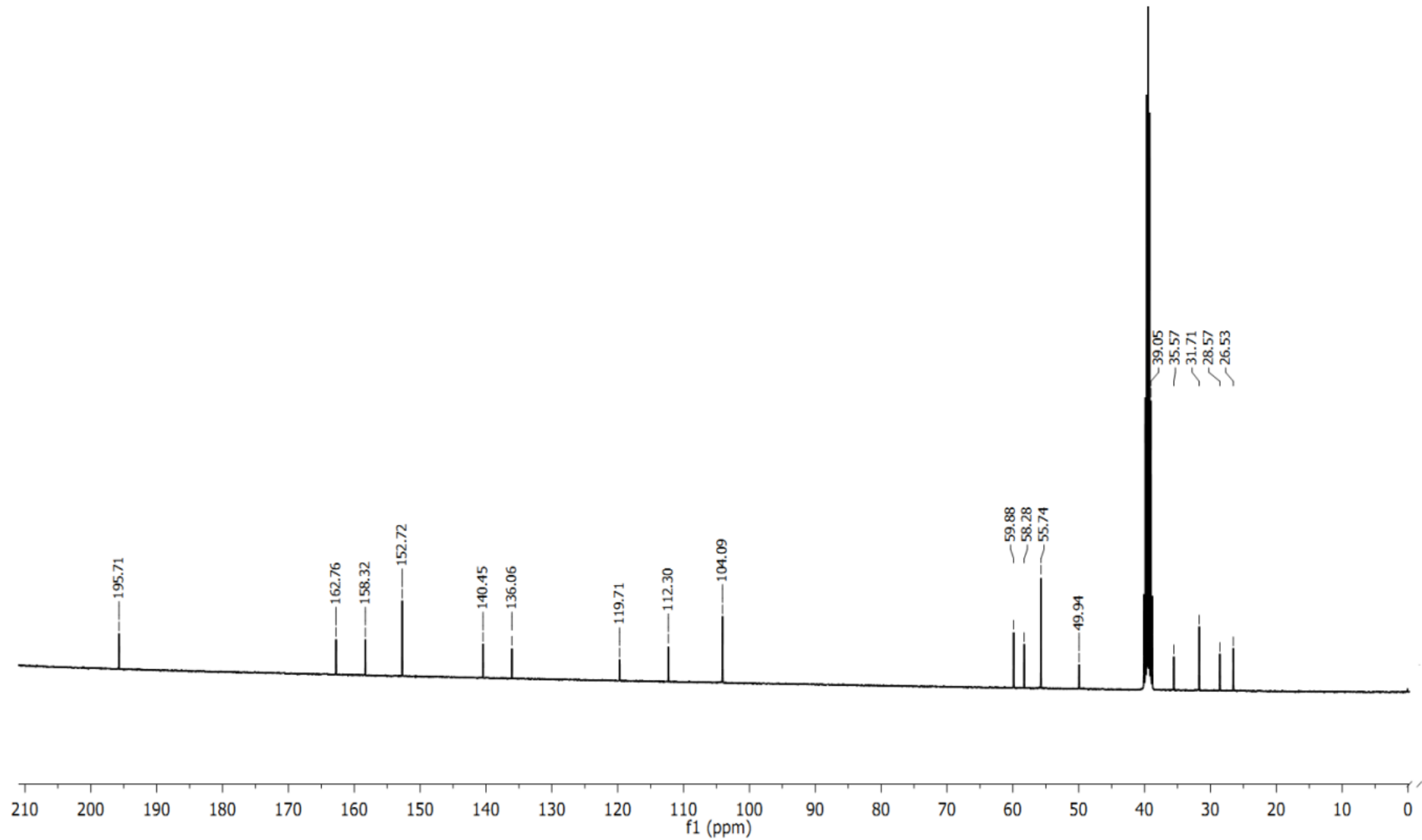


Figura 10- Espectro de RMN de ^{13}C de 4HP-2 (101 MHz, DMSO- d_6).

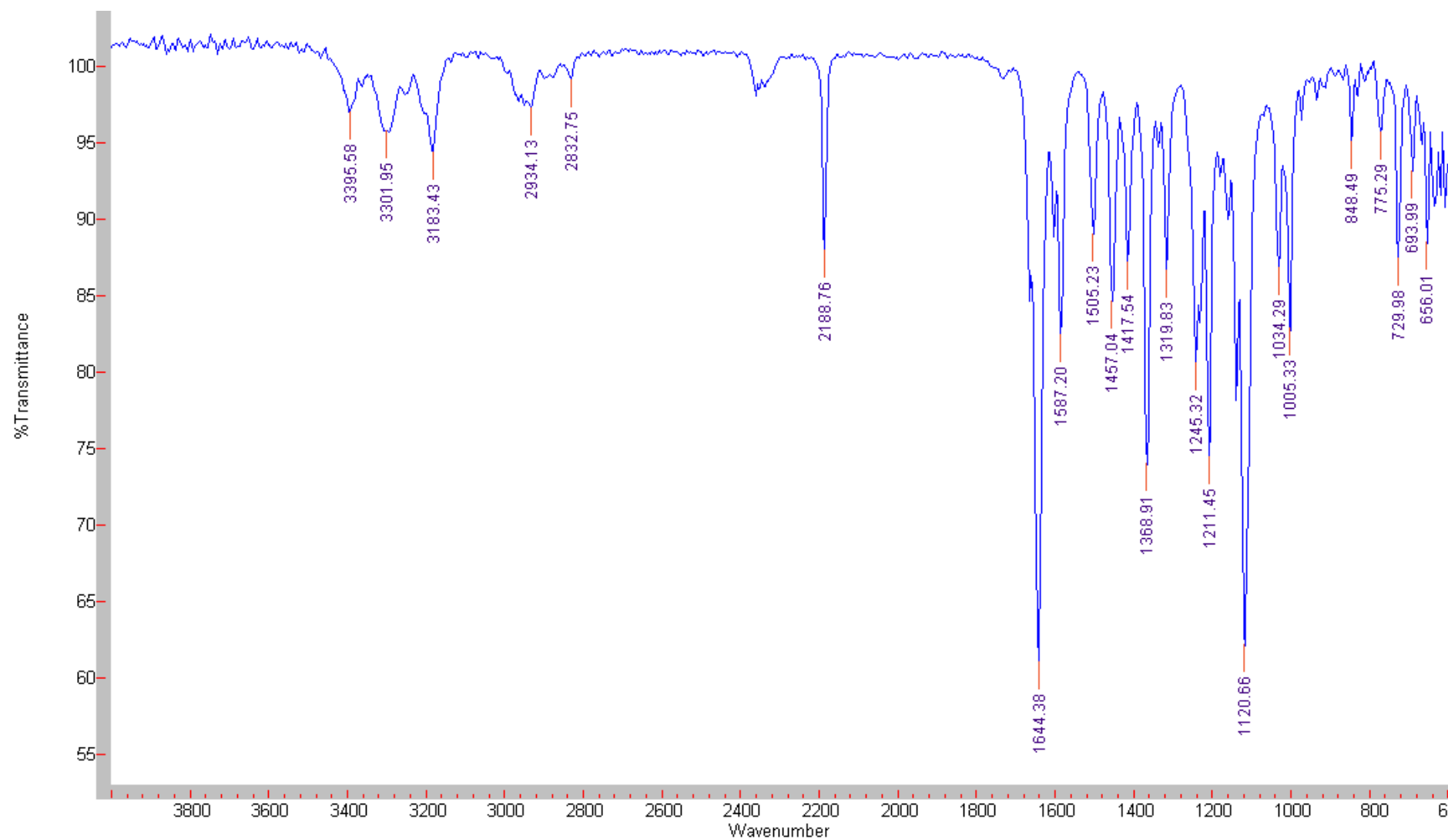


Figura 11- Espectro de IV de 4HP-2 (4000-600 cm⁻¹).

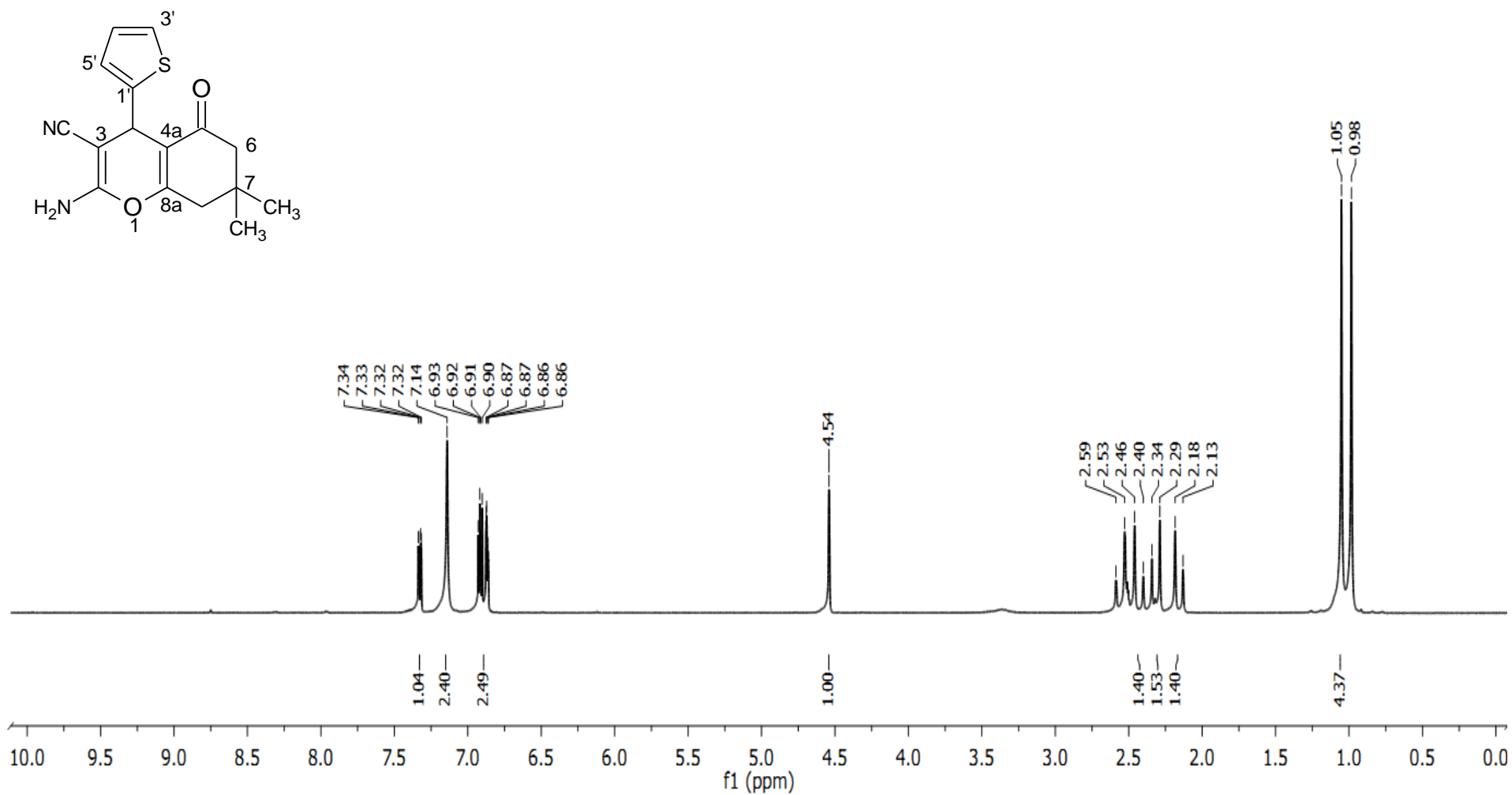


Figura 12- Espectro de RMN de ^1H de 4HP-3 (300 MHz, $\text{DMSO}-d_6$).

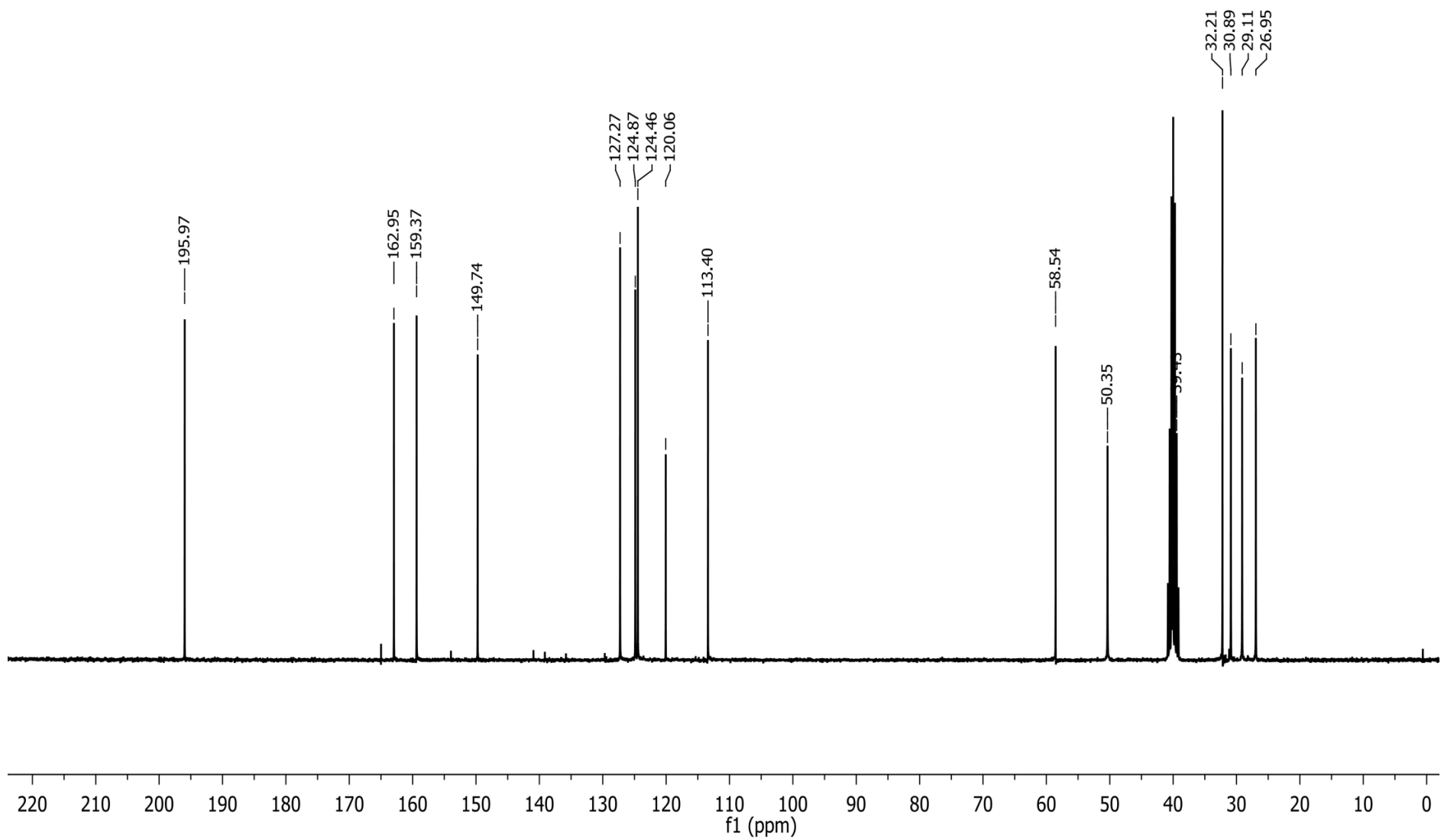


Figura 13- Espectro de RMN de ^{13}C de 4HP-3 (75 MHz, $\text{DMSO}-d_6$).

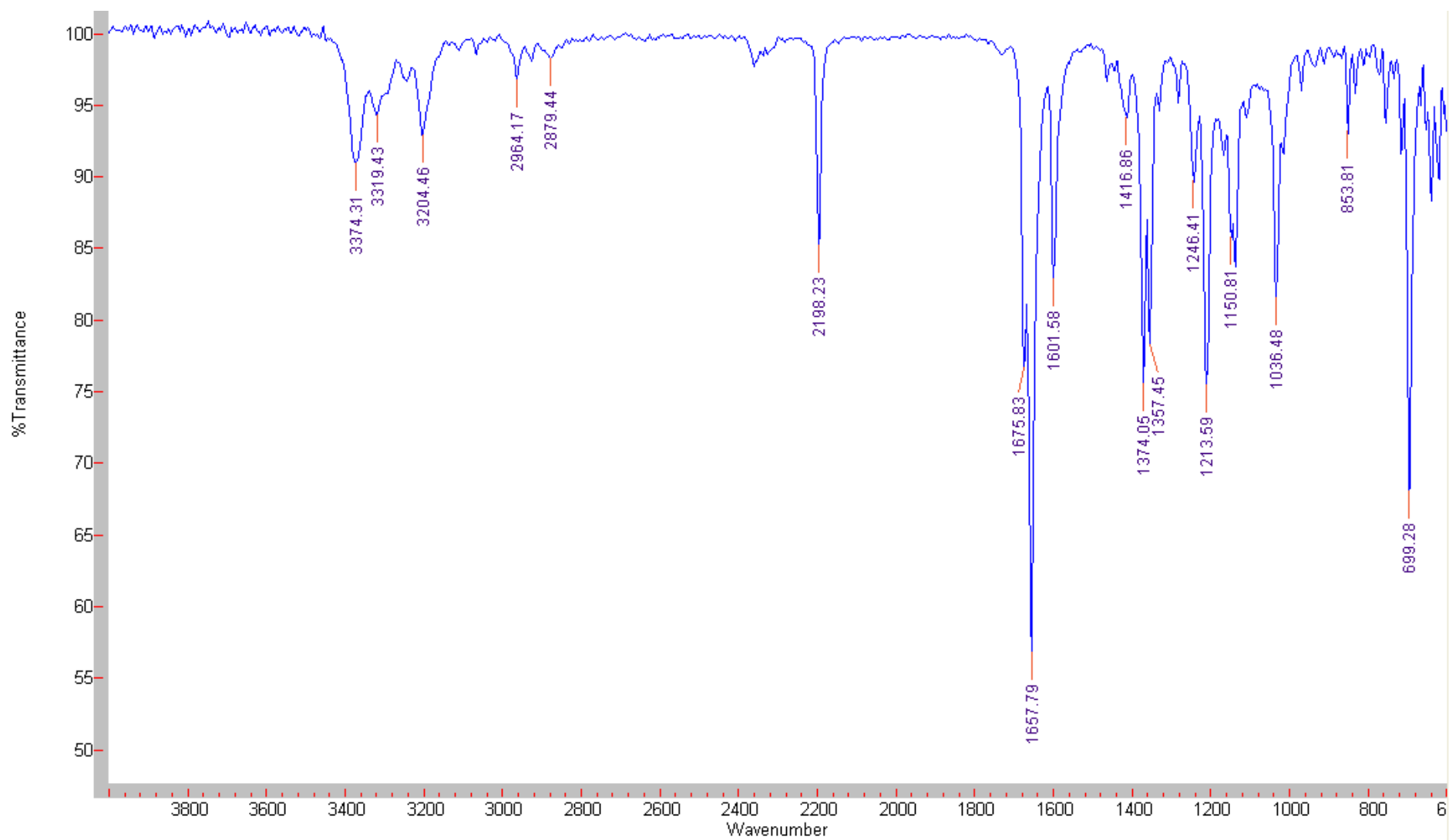


Figura 14- Espectro de IV de 4HP-3 ($4000\text{-}600\text{ }\text{cm}^{-1}$).

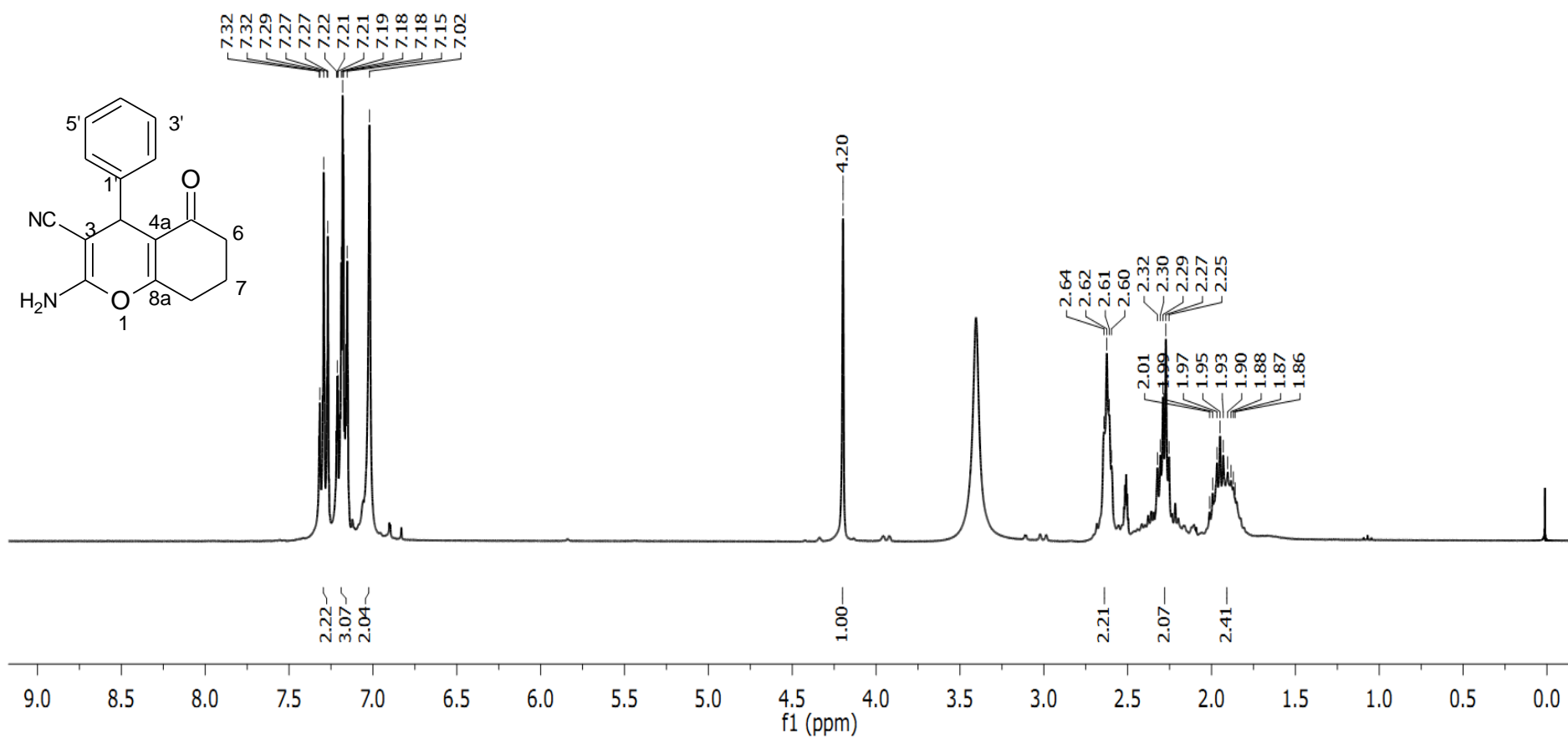


Figura 15- Espectro de RMN de ^1H de 4HP-4 (300 MHz, $\text{DMSO}-d_6$).

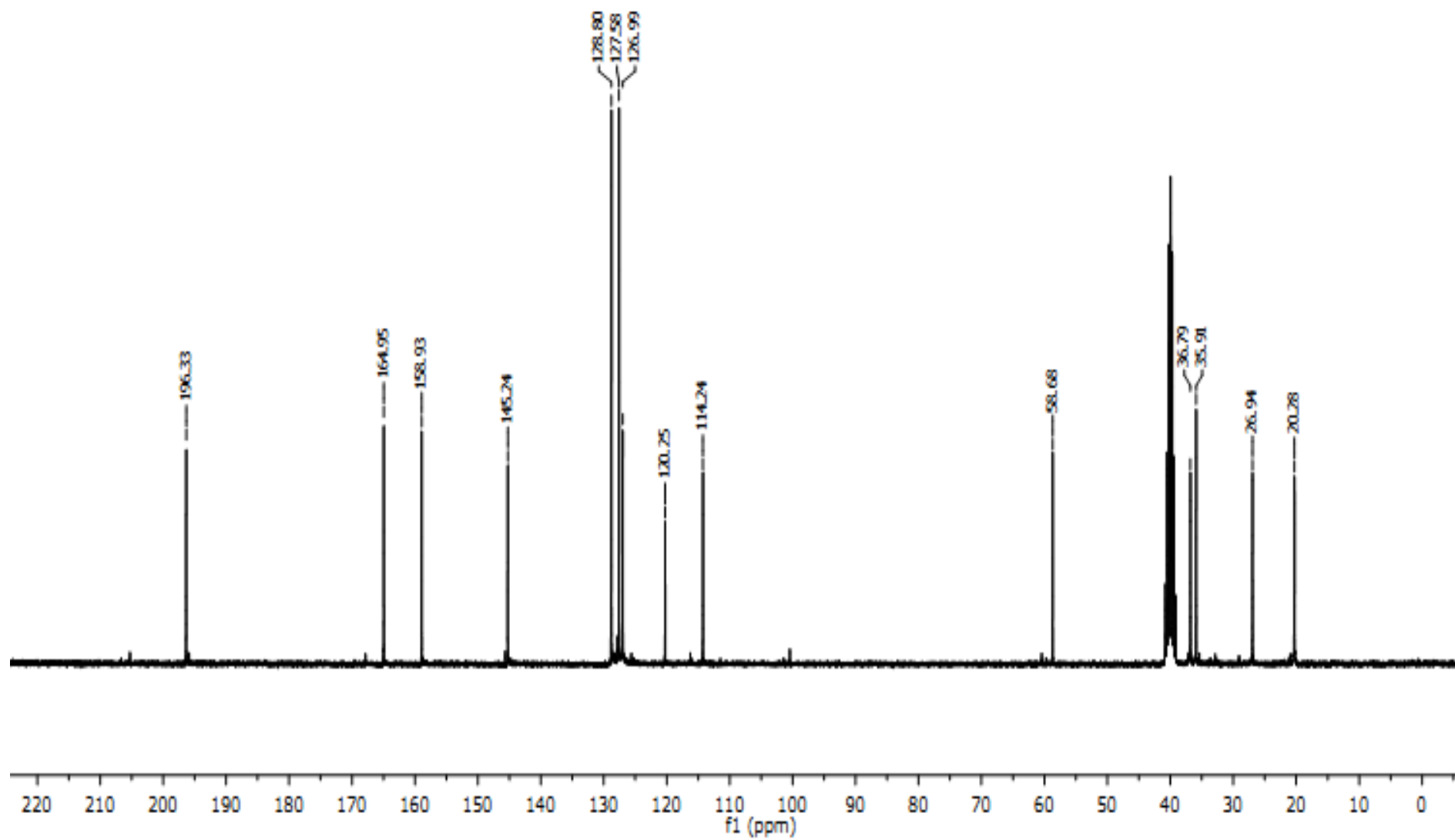


Figura 16- Espectro de RMN de ^{13}C de 4HP-4 (75 MHz, DMSO- d_6).

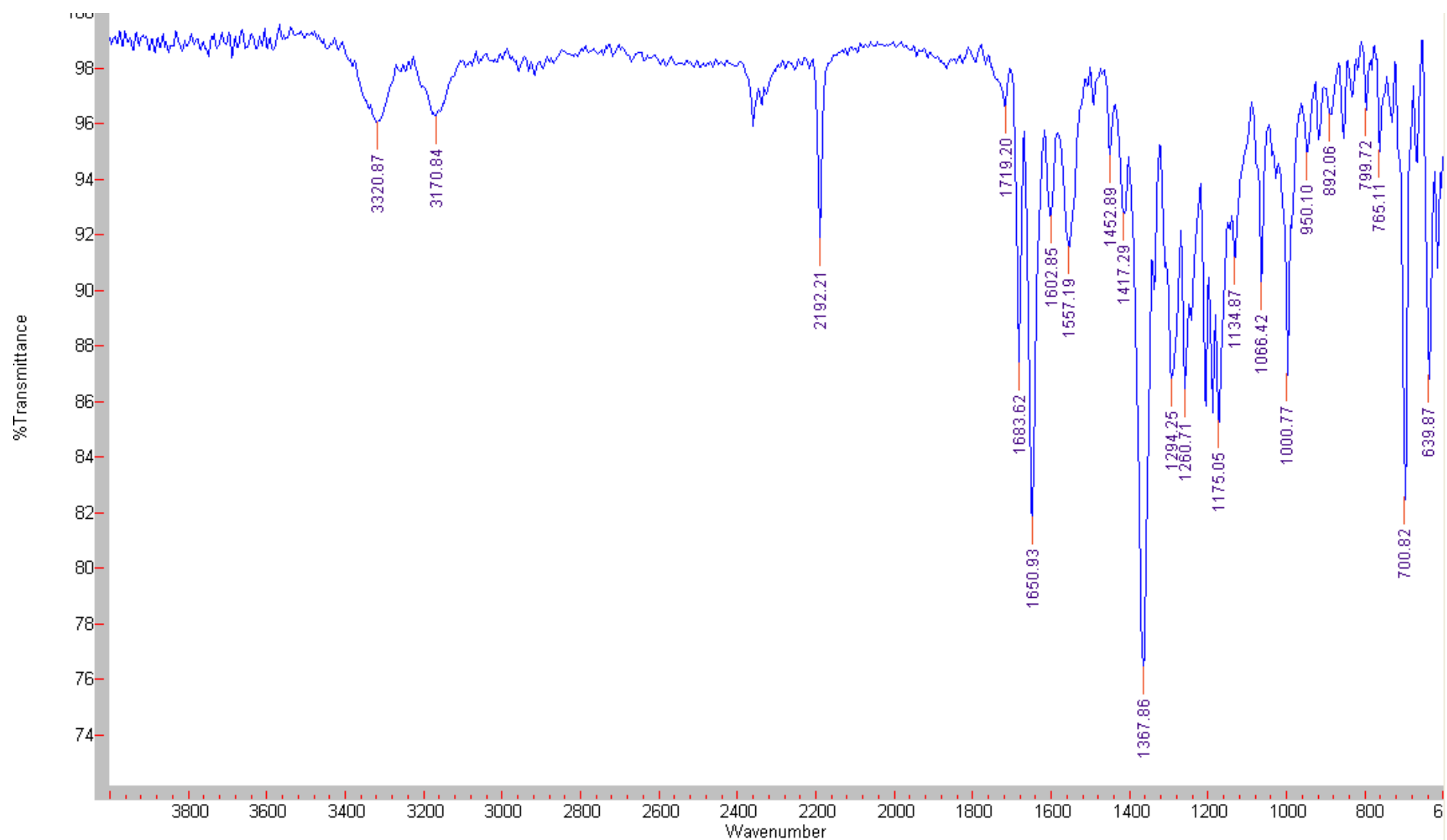


Figura 17- Espectro de IV de 4HP-4 (4000-600 cm^{-1}).

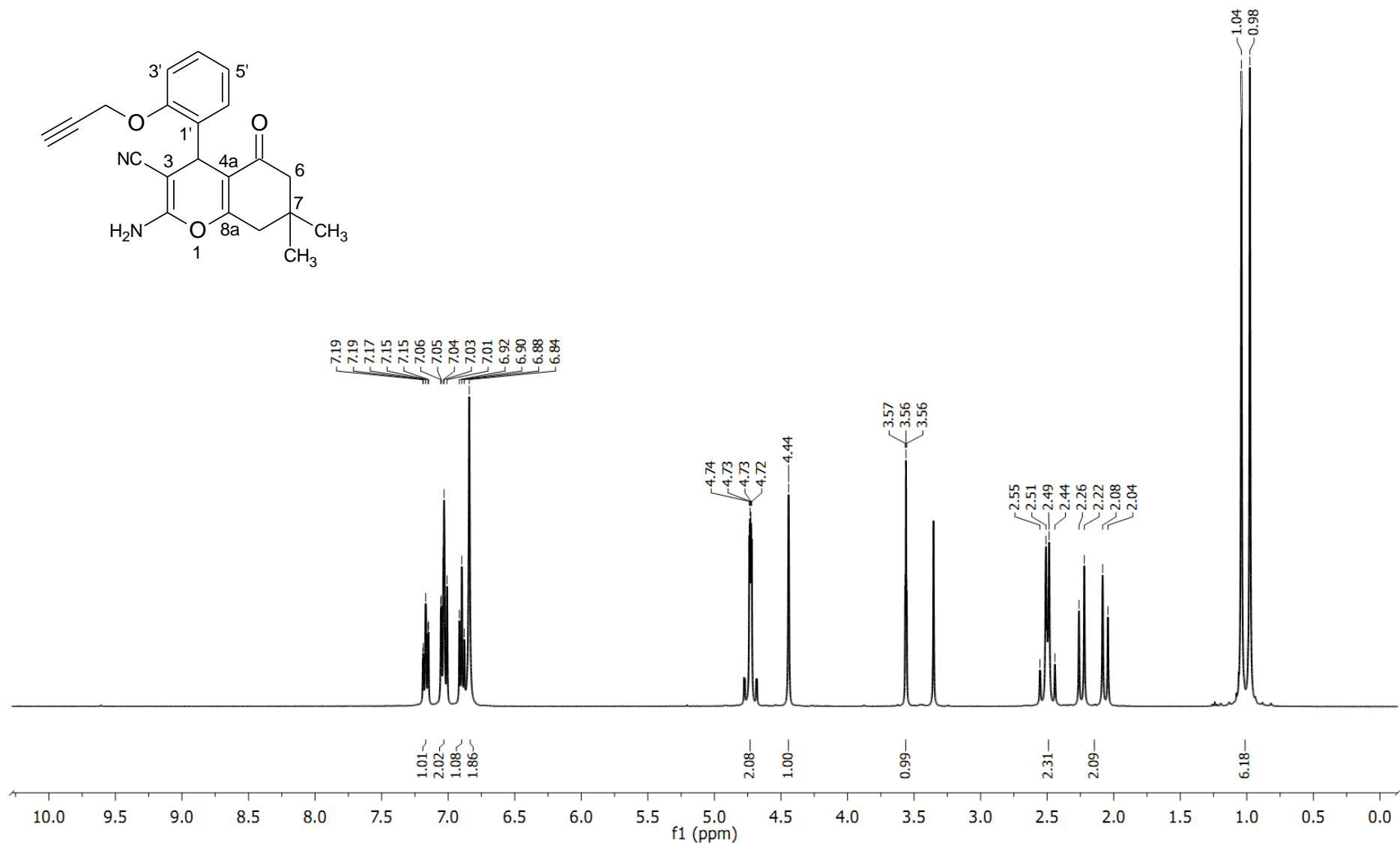


Figura 18- Espectro de RMN de ^1H de 4HP-5 (400 MHz, DMSO-*d*6).

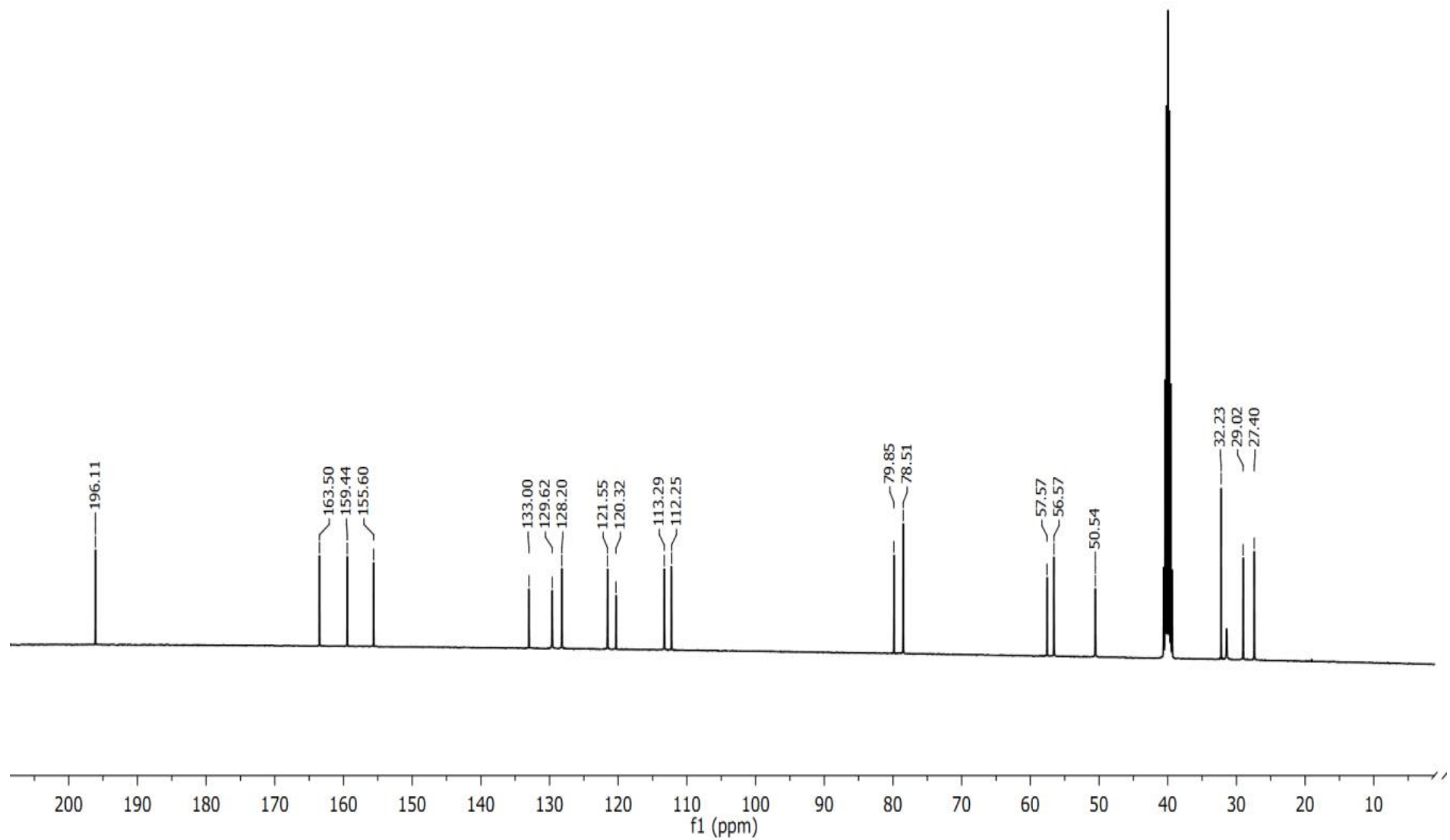


Figura 19- Espectro de RMN de ^{13}C de 4HP-5 (101 MHz, DMSO- d_6).

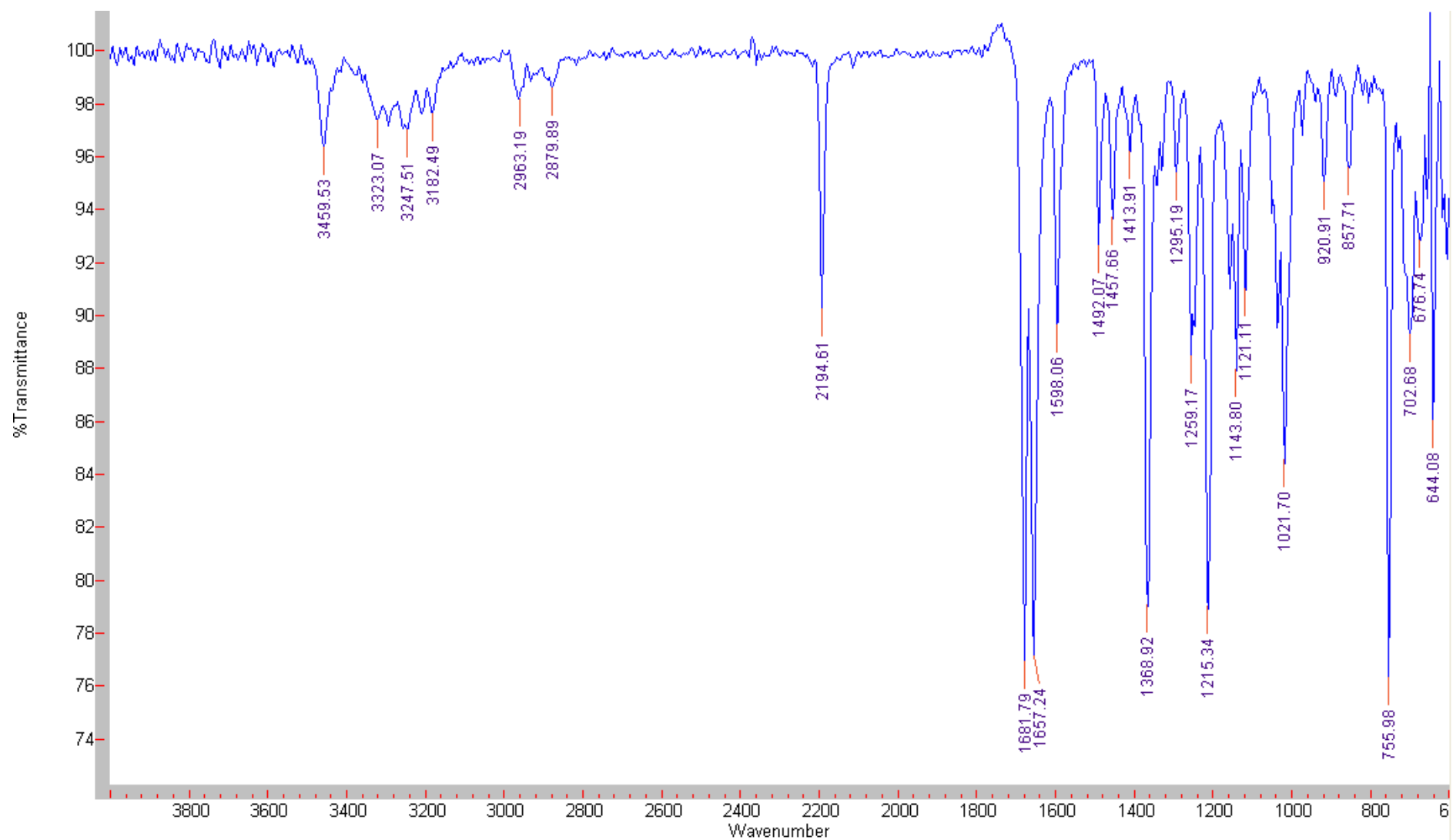


Figura 20- Espectro de IV de 4HP-5 (4000-600 cm⁻¹).

Buenos Compartidos con la 15 en propionato

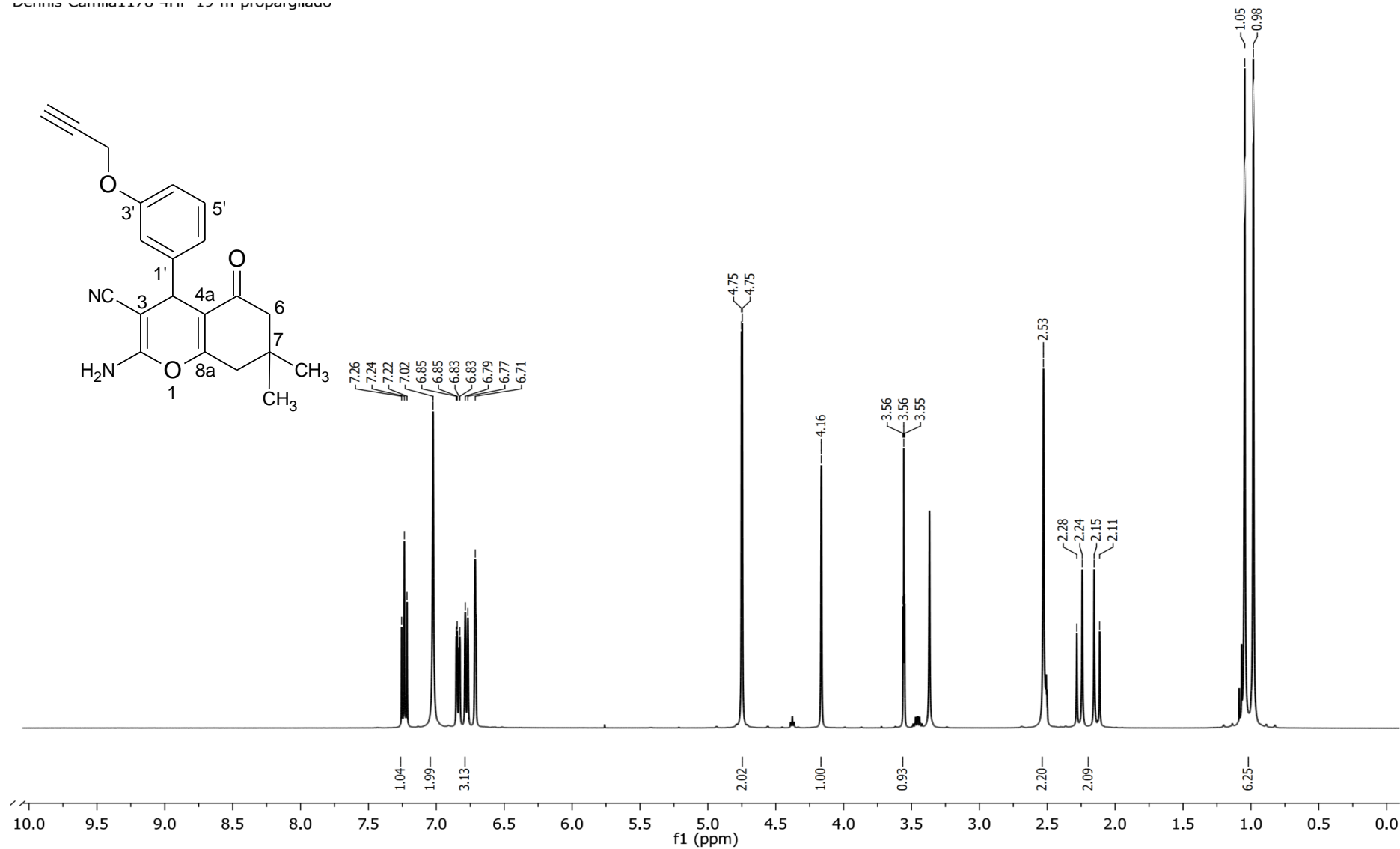


Figura 21- Espectro de RMN de ^1H de 4HP-6 (400 MHz, DMSO-d_6).

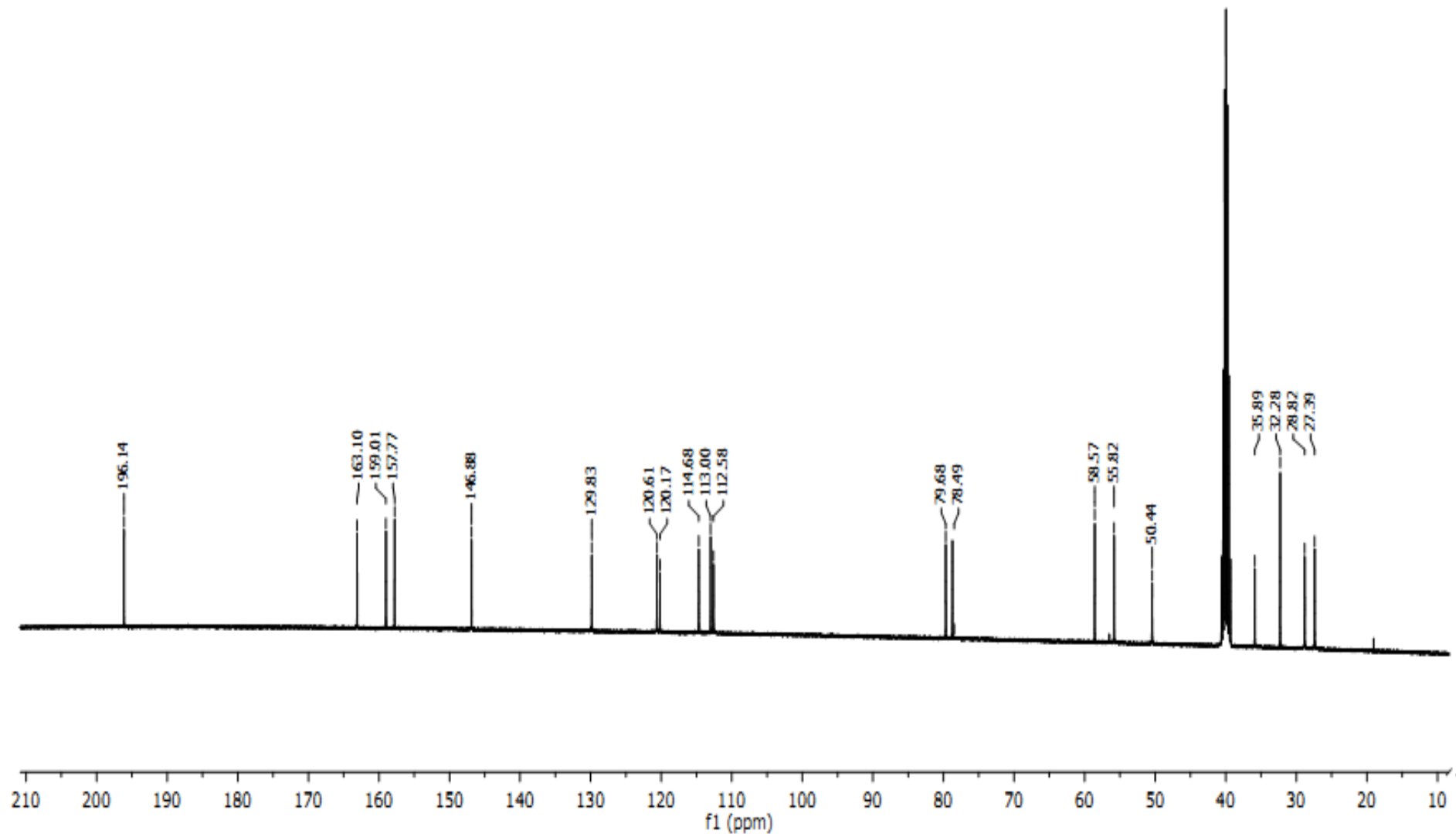


Figura 22- Espectro de RMN de ^{13}C de 4HP-6 (101 MHz, $\text{DMSO}-d_6$).

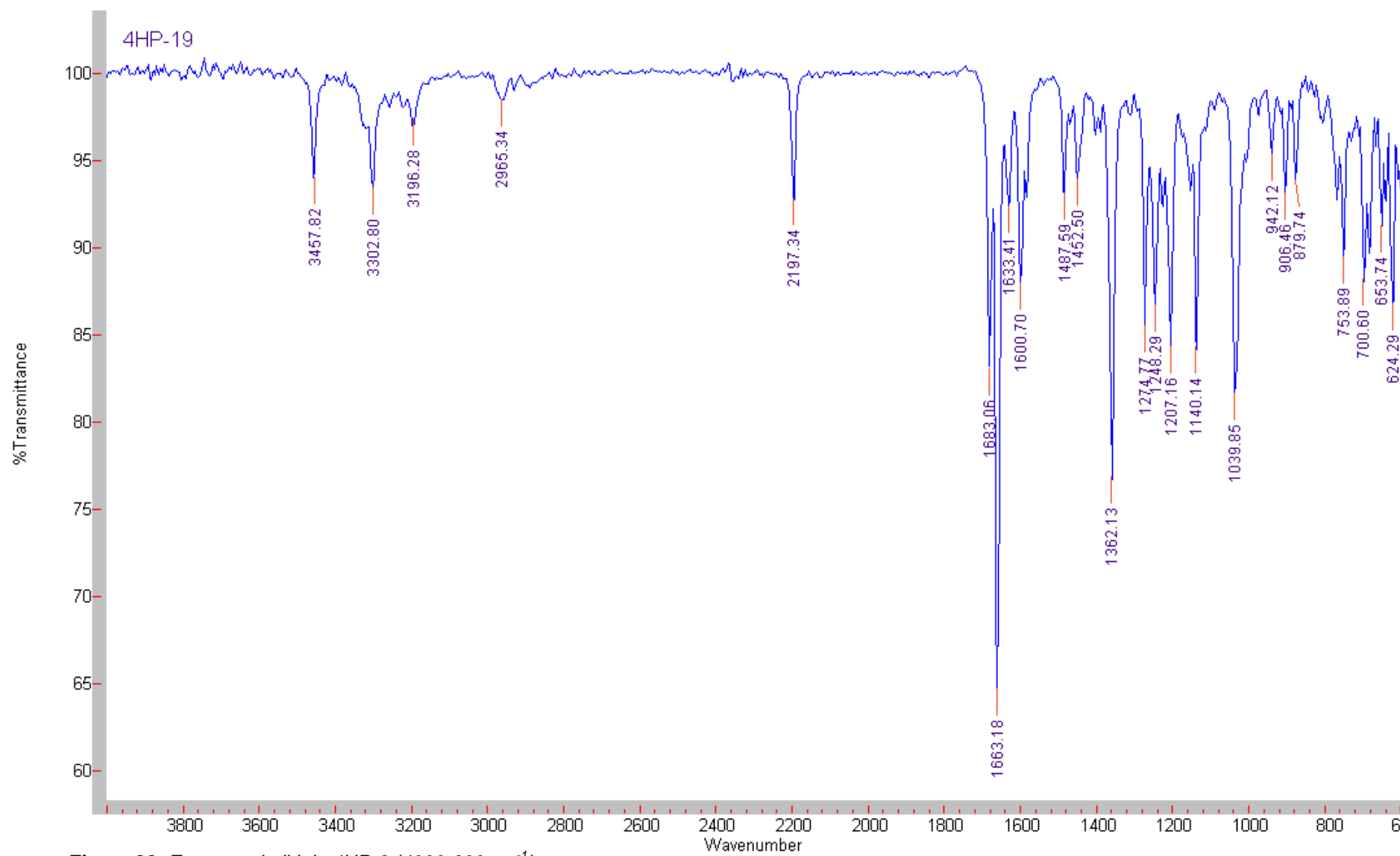


Figura 23- Espectro de IV de 4HP-6 (4000-600 cm⁻¹).

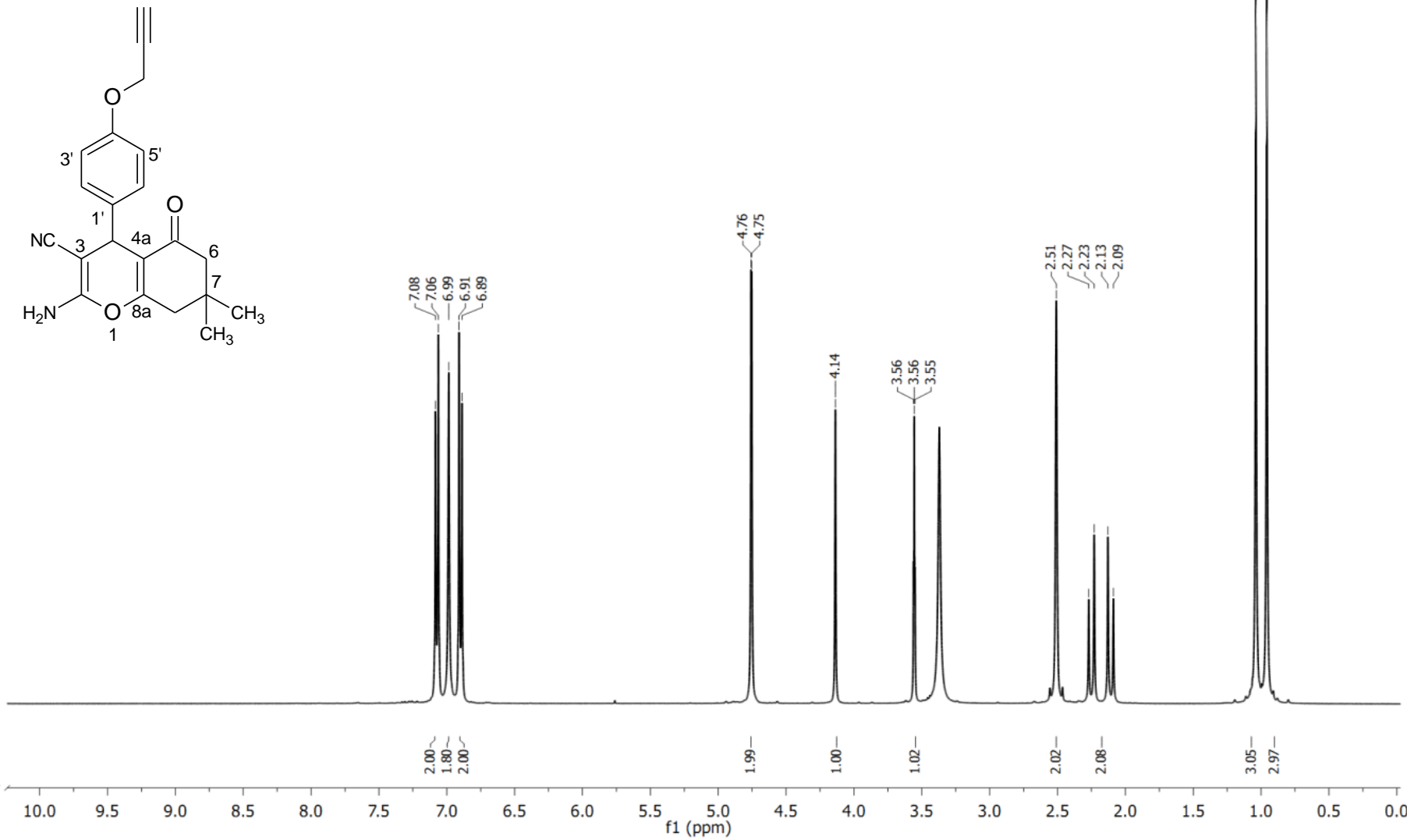


Figura 24- Espectro de RMN de ^1H de 4HP-7 (400 MHz, DMSO- d_6).

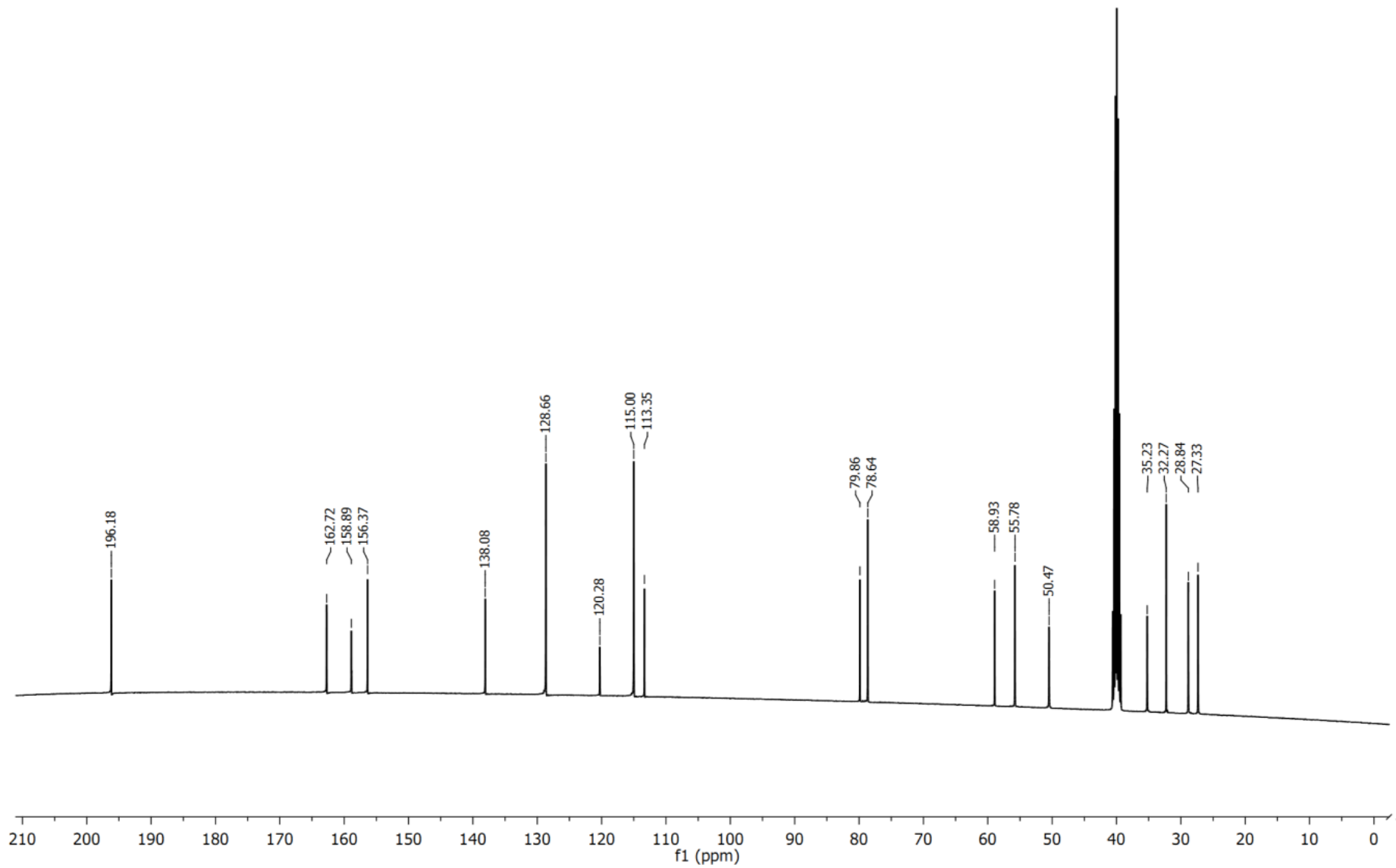


Figura 25- Espectro de RMN de ^{13}C de 4HP-7 (101 MHz, $\text{DMSO}-d_6$).

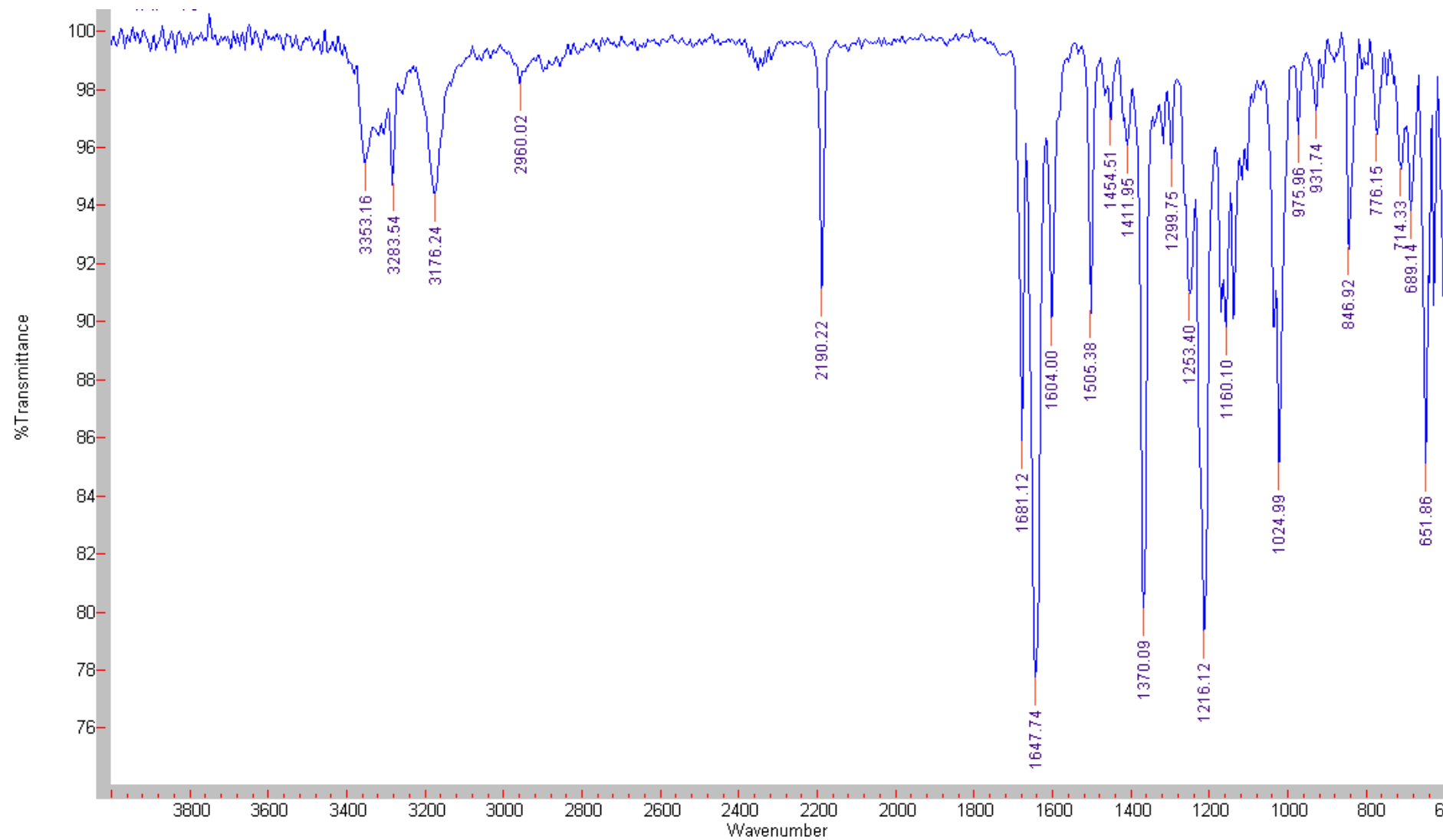


Figura 26- Espectro de IV de 4HP-7 (4000-600 cm⁻¹).

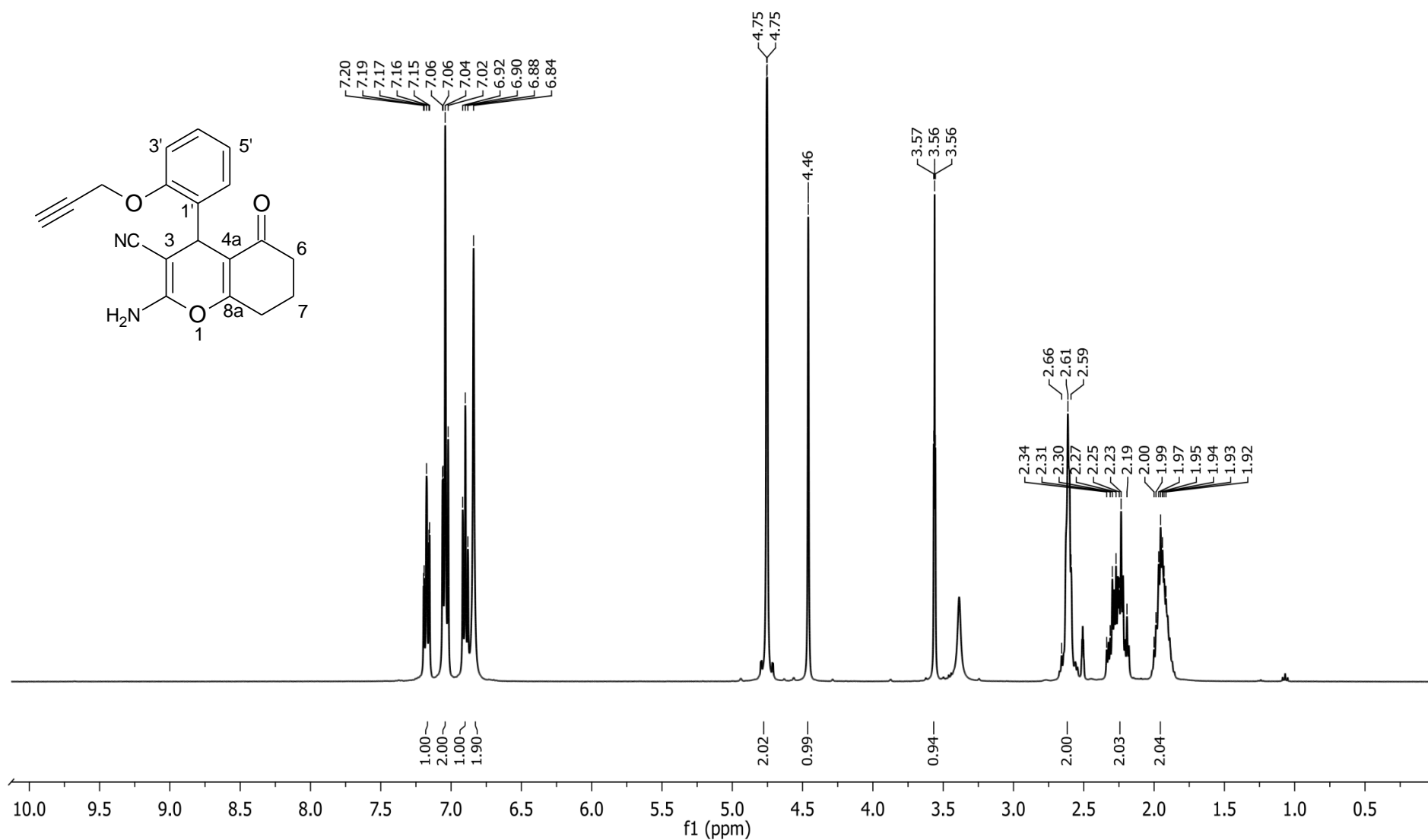


Figura 27- Espectro de RMN de ^1H de 4HP-8 (400 MHz, $\text{DMSO}-d_6$).

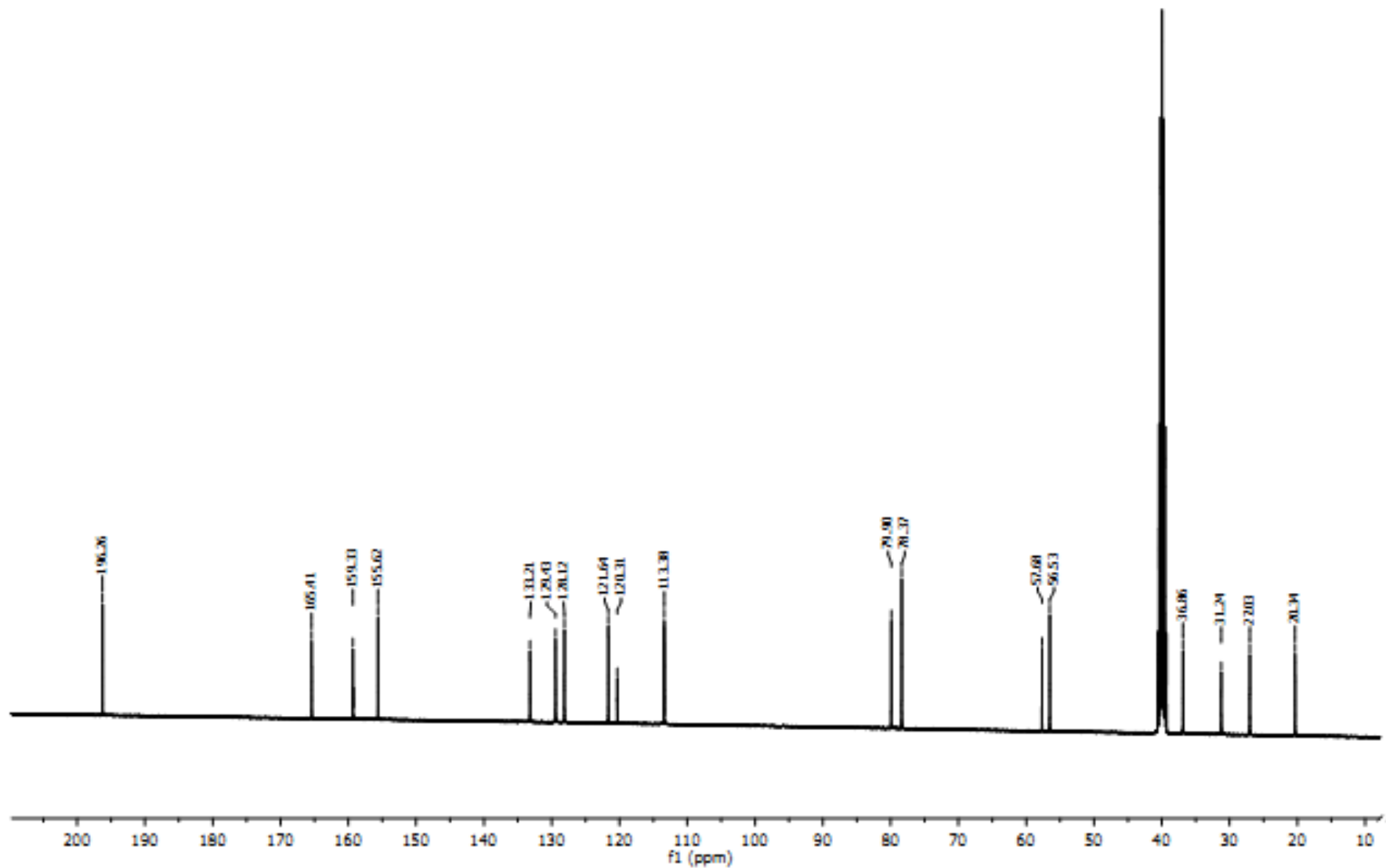


Figura 28- Espectro de RMN de ^{13}C de 4HP-8 (101 MHz, DMSO- d_6).

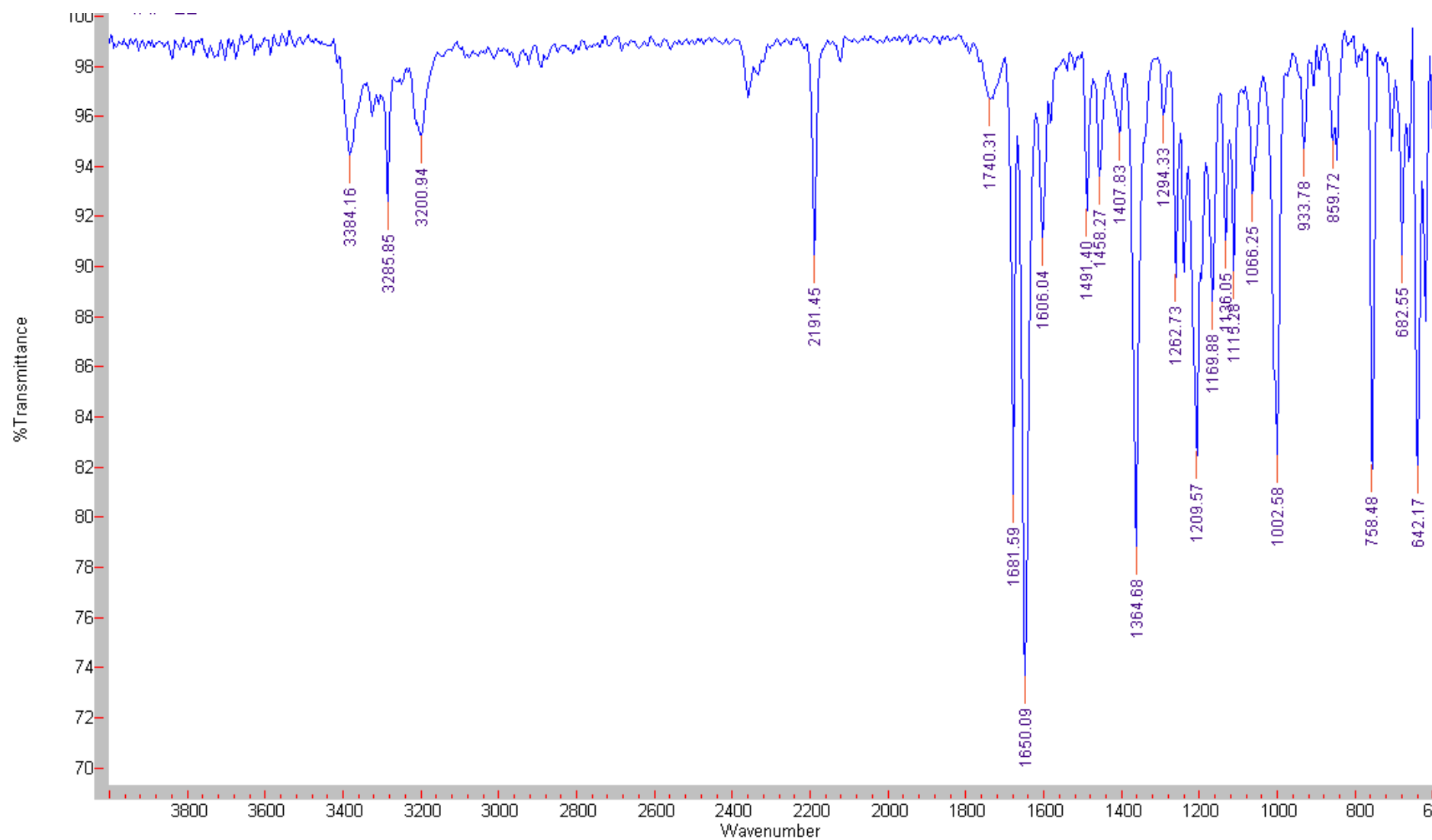


Figura 29- Espectro de IV de 4HP-8 (4000-600 cm⁻¹).

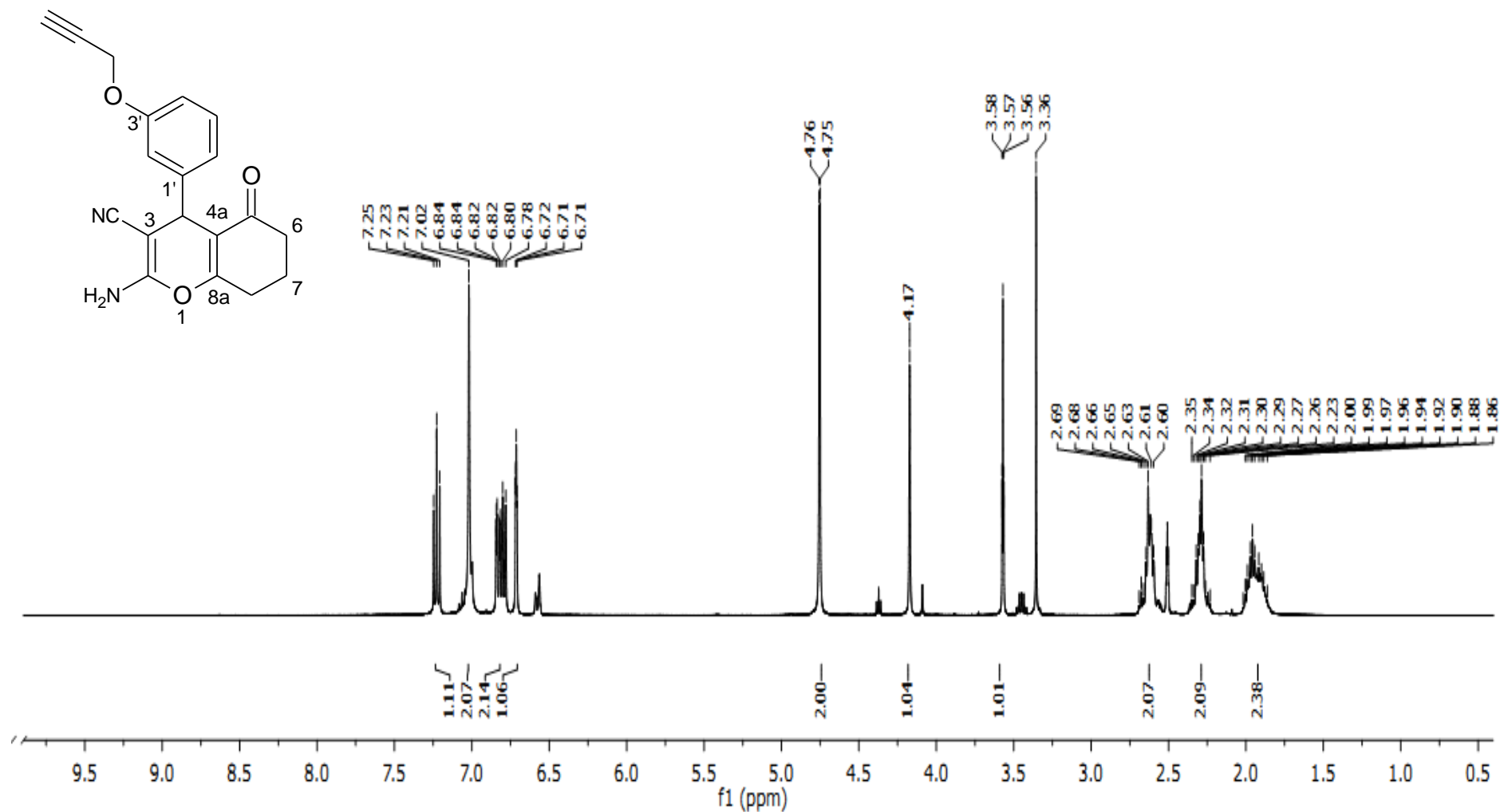


Figura 30- Espectro de RMN de ^1H de 4HP-9 (400 MHz, DMSO-d_6).

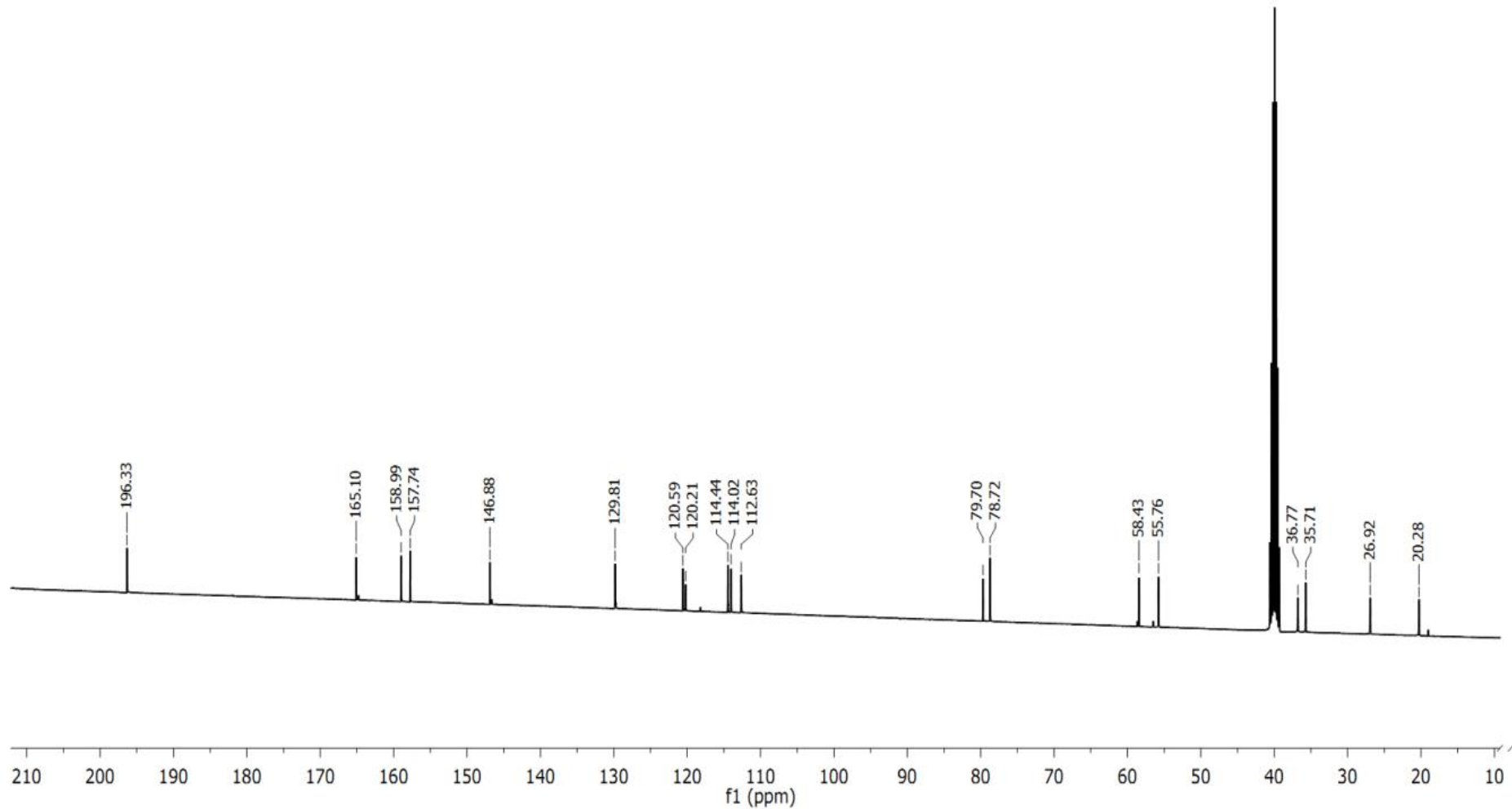


Figura 31- Espectro de RMN de ^{13}C de 4HP-9 (101 MHz, DMSO- d_6).

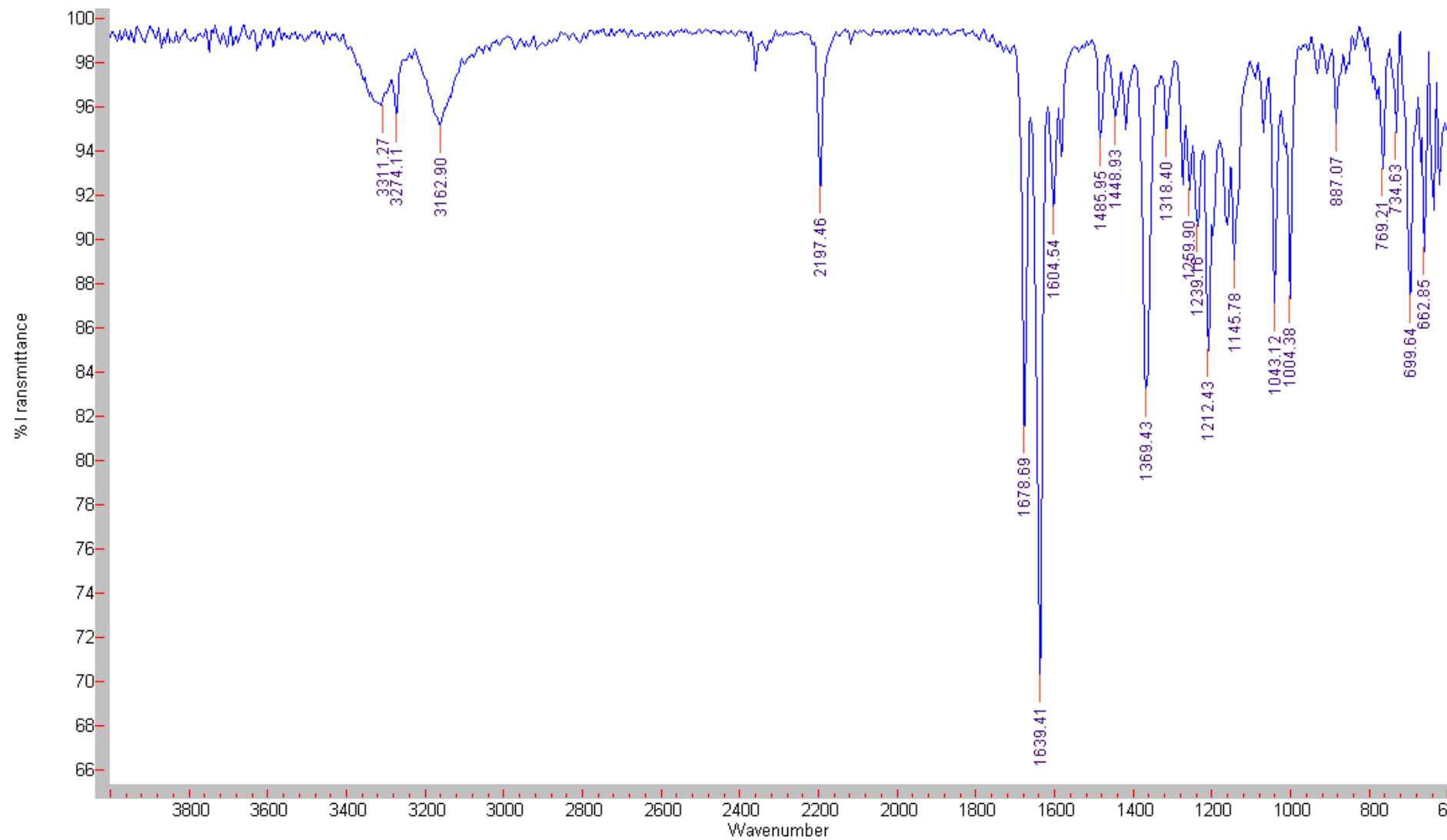


Figura 32- Espectro de IV de 4HP-9 (4000-600 cm^{-1}).

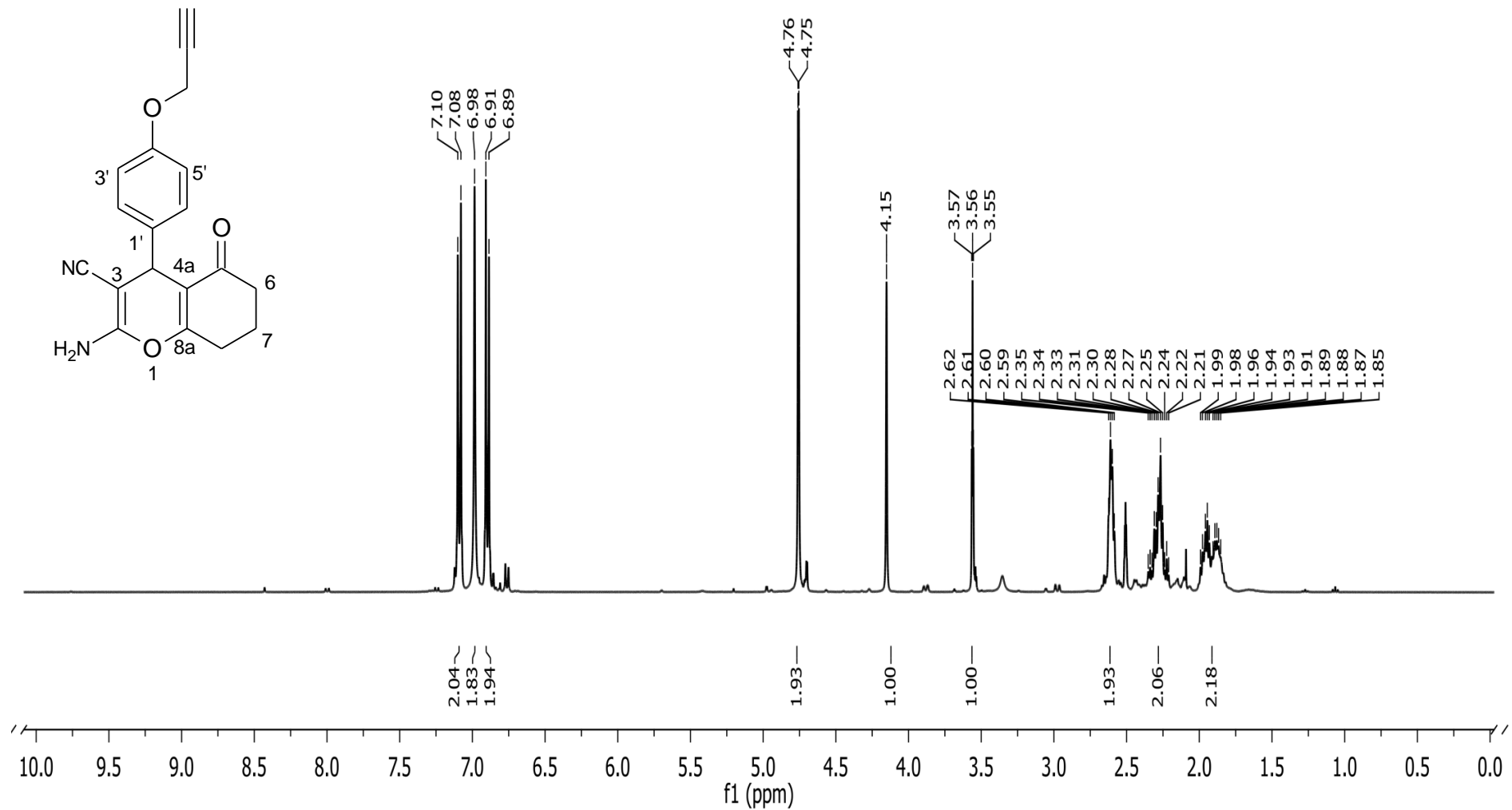


Figura 33- Espectro de RMN de ^1H de 4HP-10(400 MHz, DMSO- d_6).

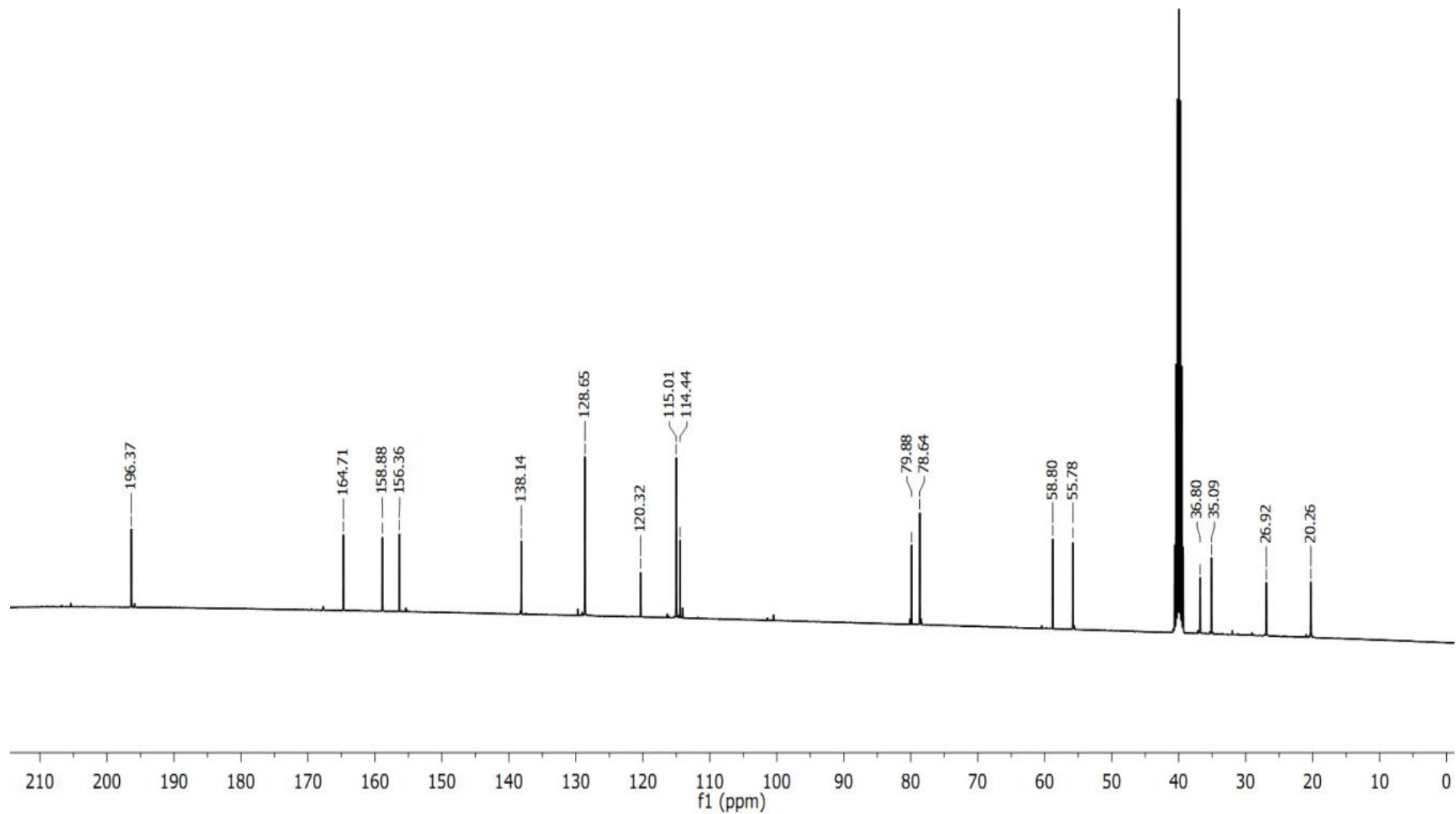


Figura 34- Espectro de RMN de ^{13}C de 4HP-10 (101 MHz, $\text{DMSO}-d_6$).

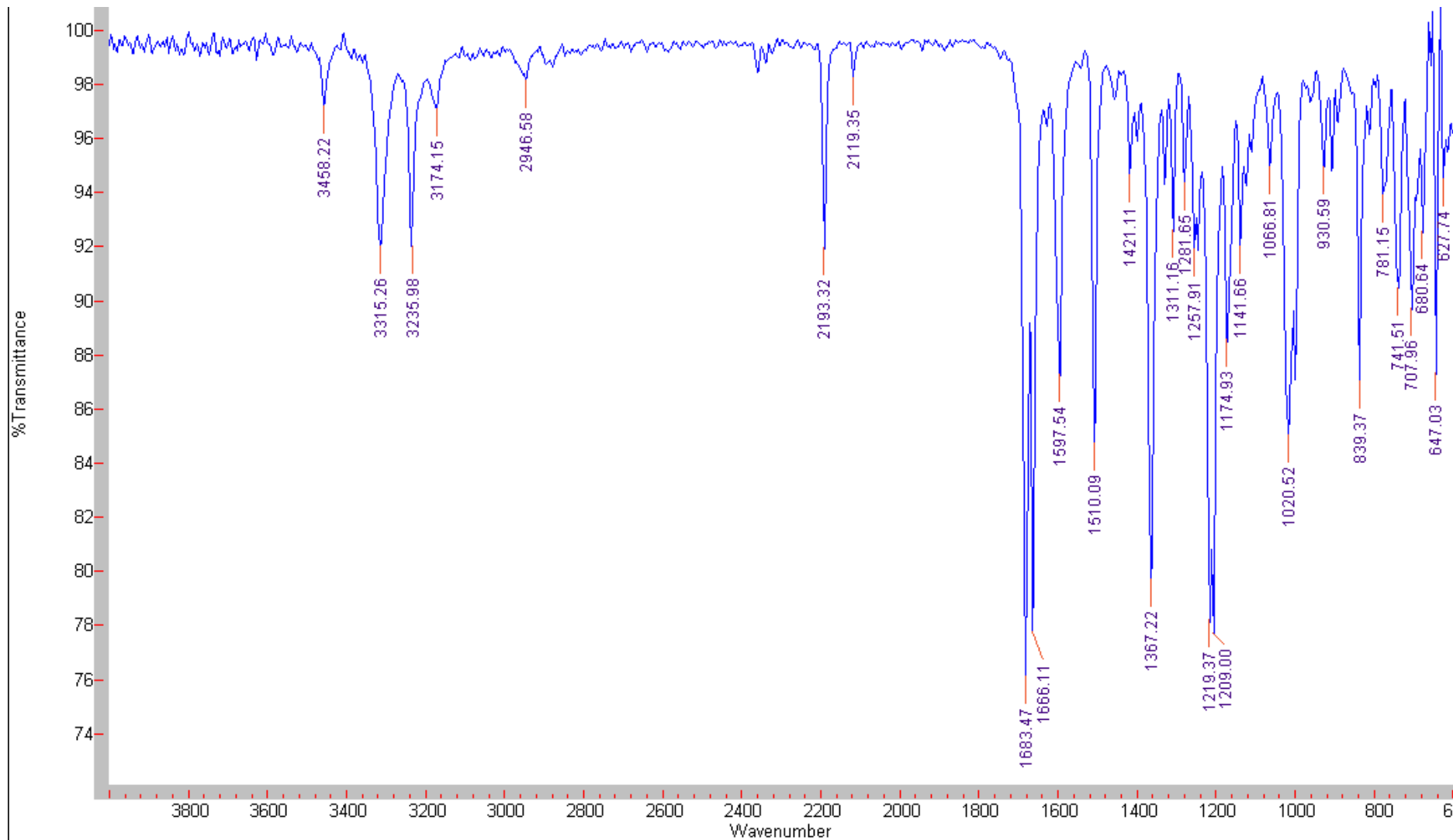


Figura 35- Espectro de IV de 4HP-10 (4000-600 cm⁻¹).

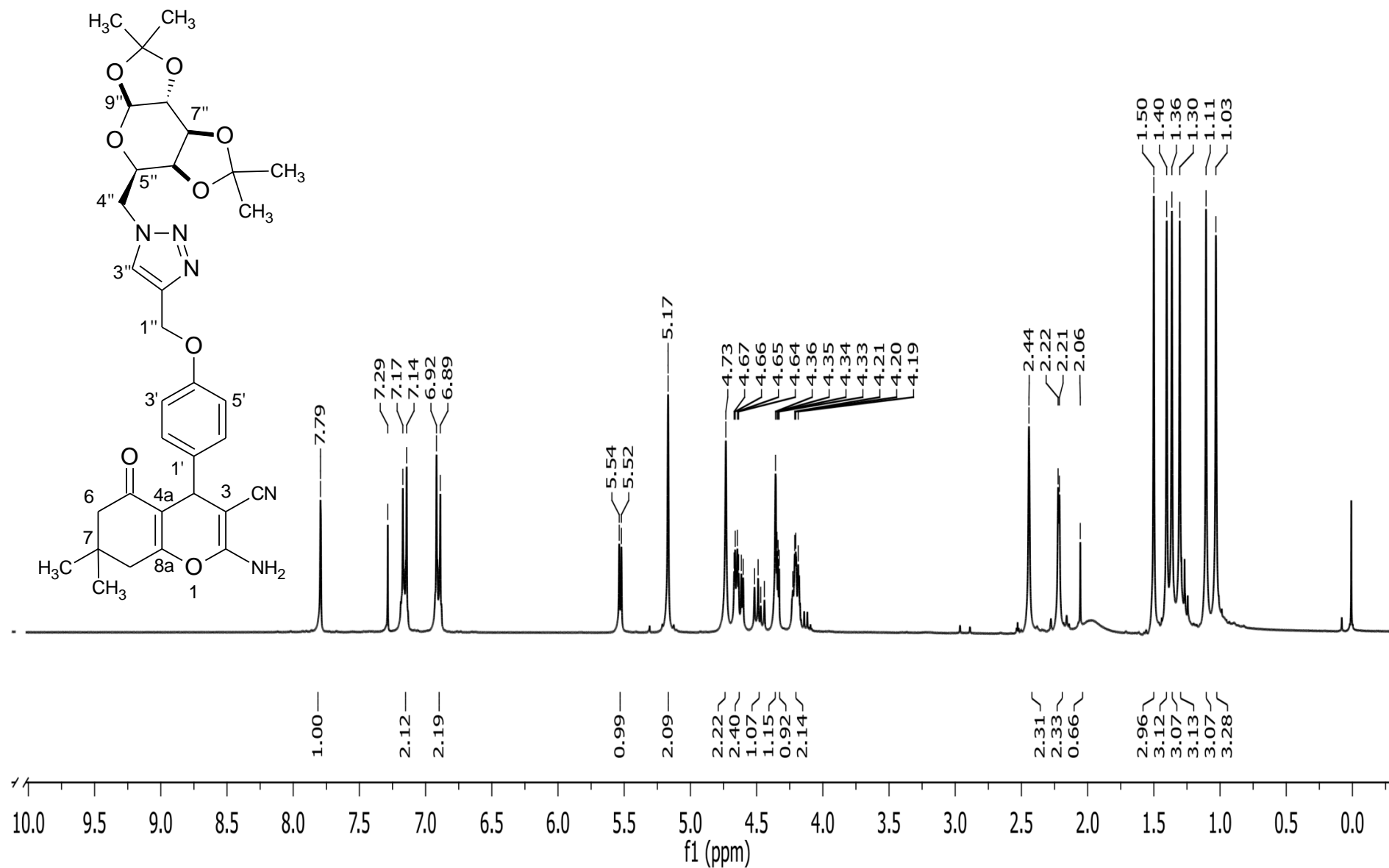


Figura 36- Espectro de RMN de ^1H de Click 1 (300 MHz, CDCl_3).

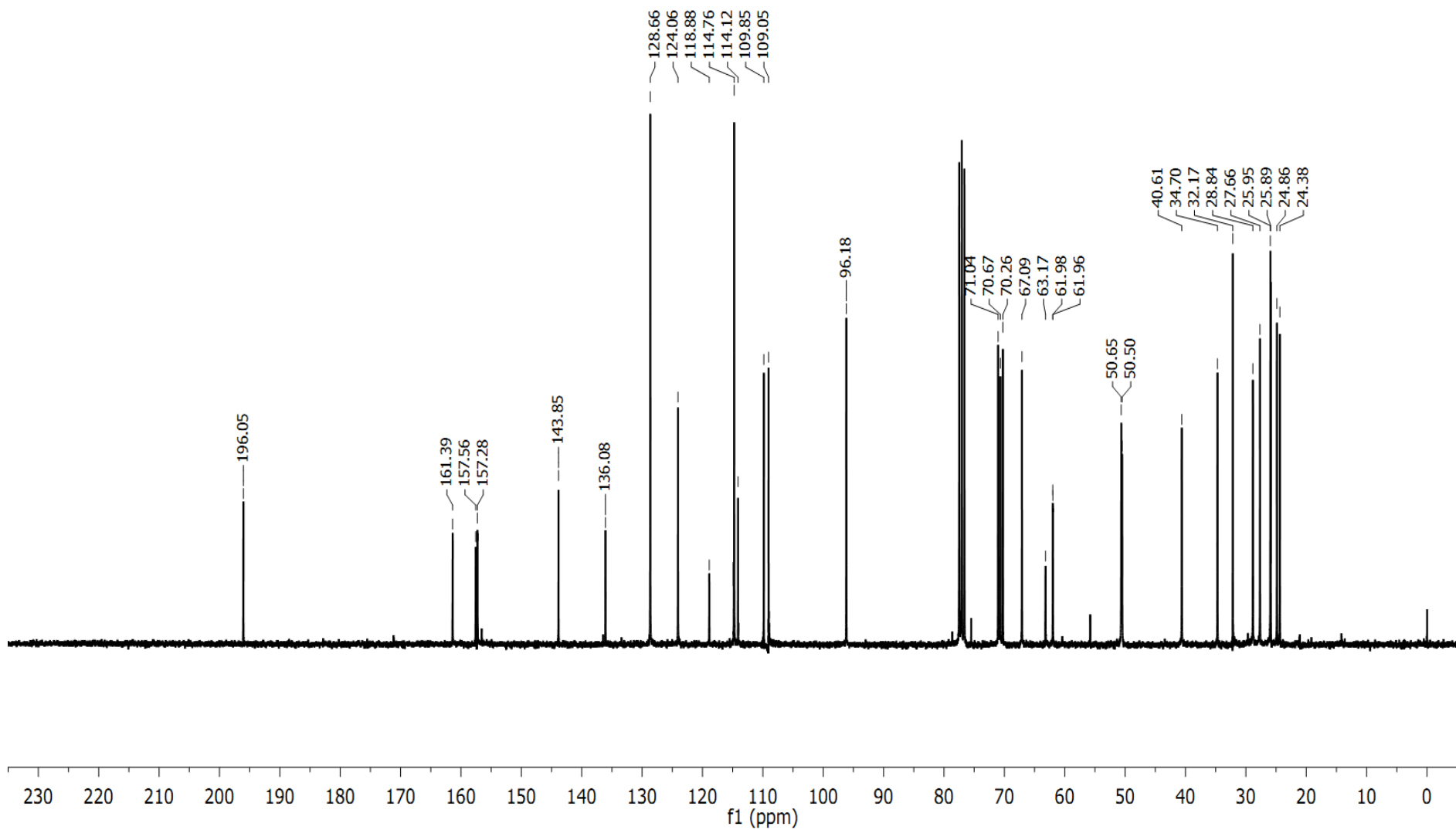


Figura 37- Espectro de RMN de ^{13}C de Click 1 (75 MHz, CDCl_3).

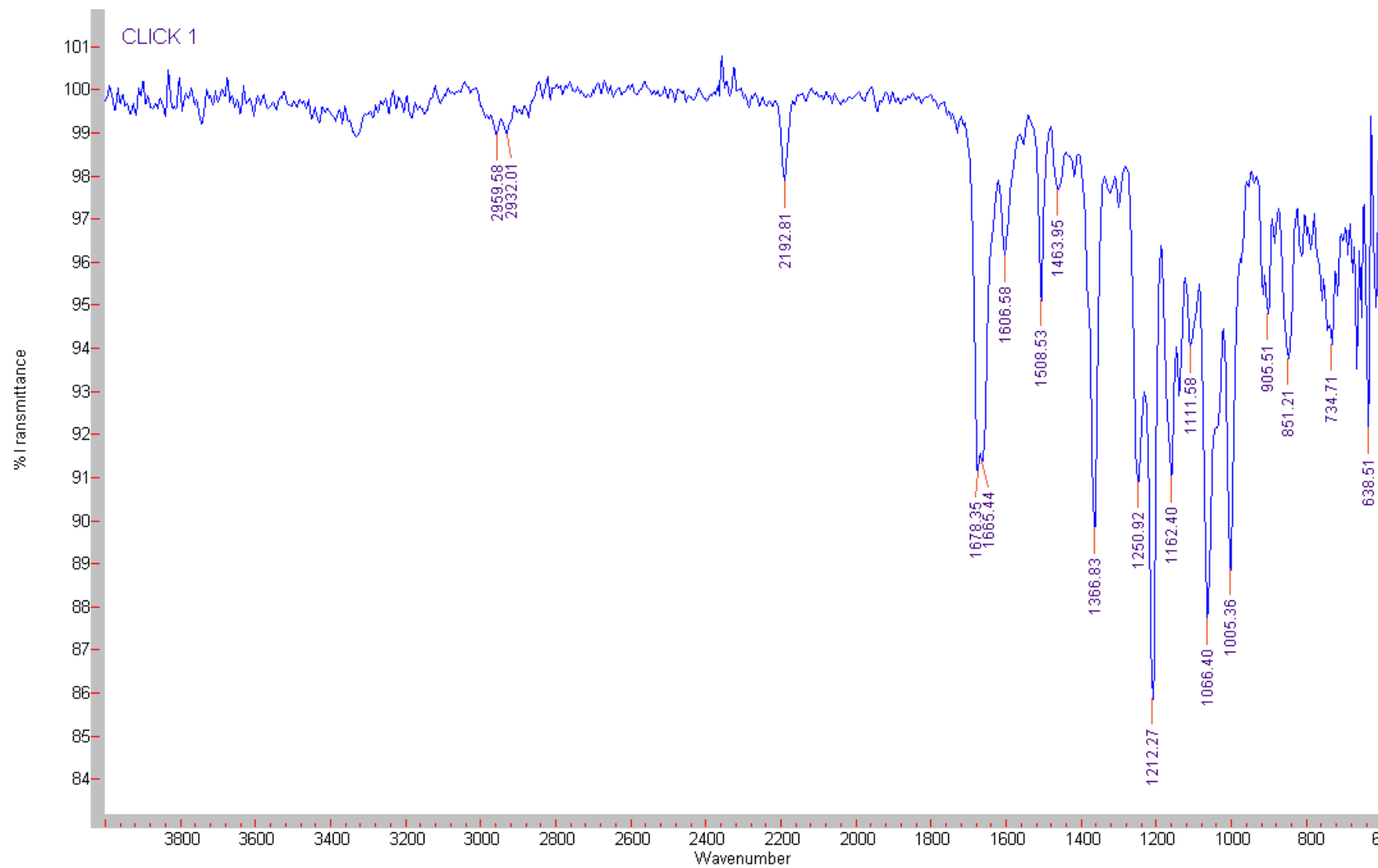


Figura 38- Espectro de IV de Click 1 (4000-600 cm⁻¹).

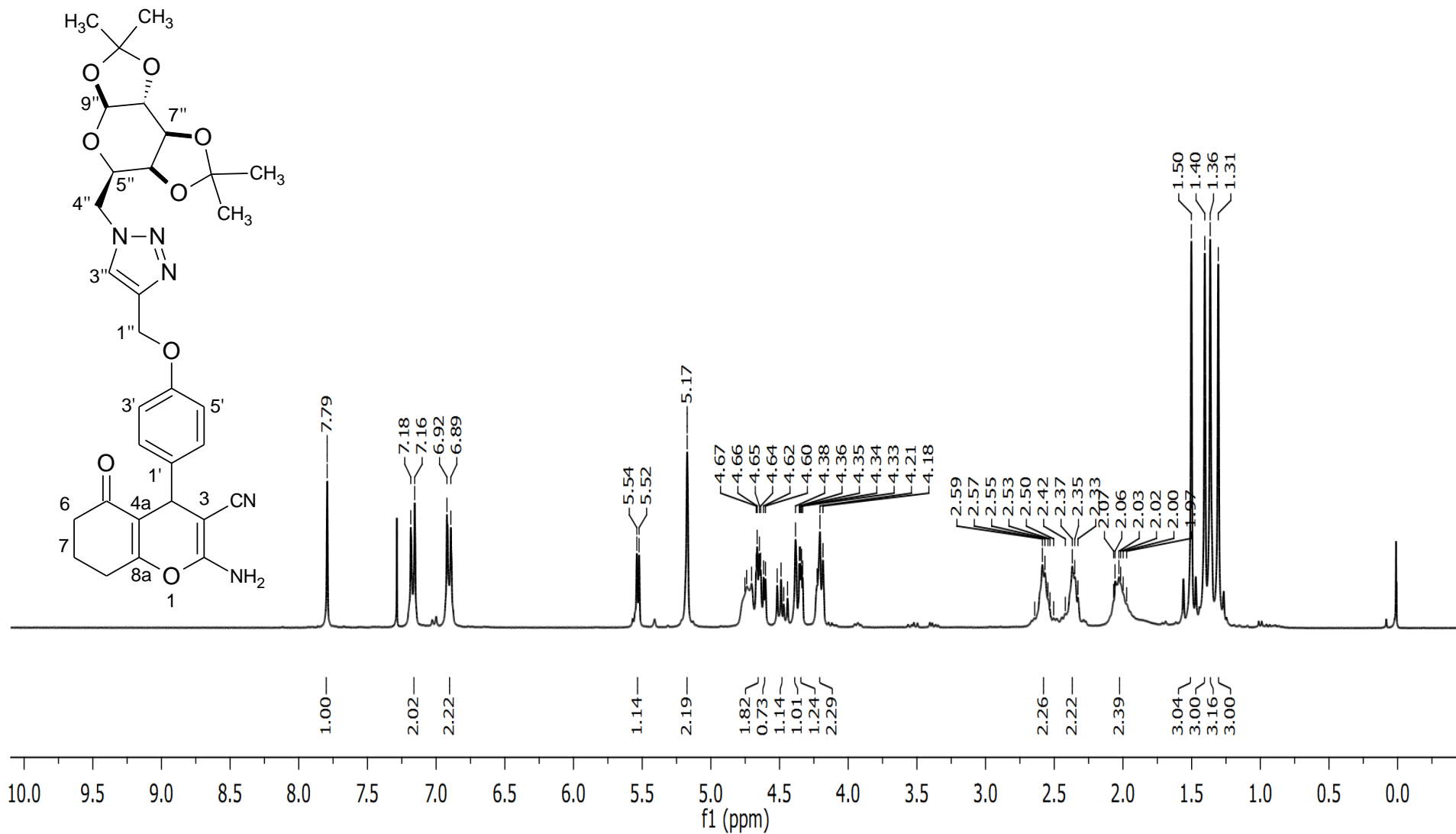


Figura 39- Espectro de RMN de ^1H de Click 2(300MHz, CDCl_3).

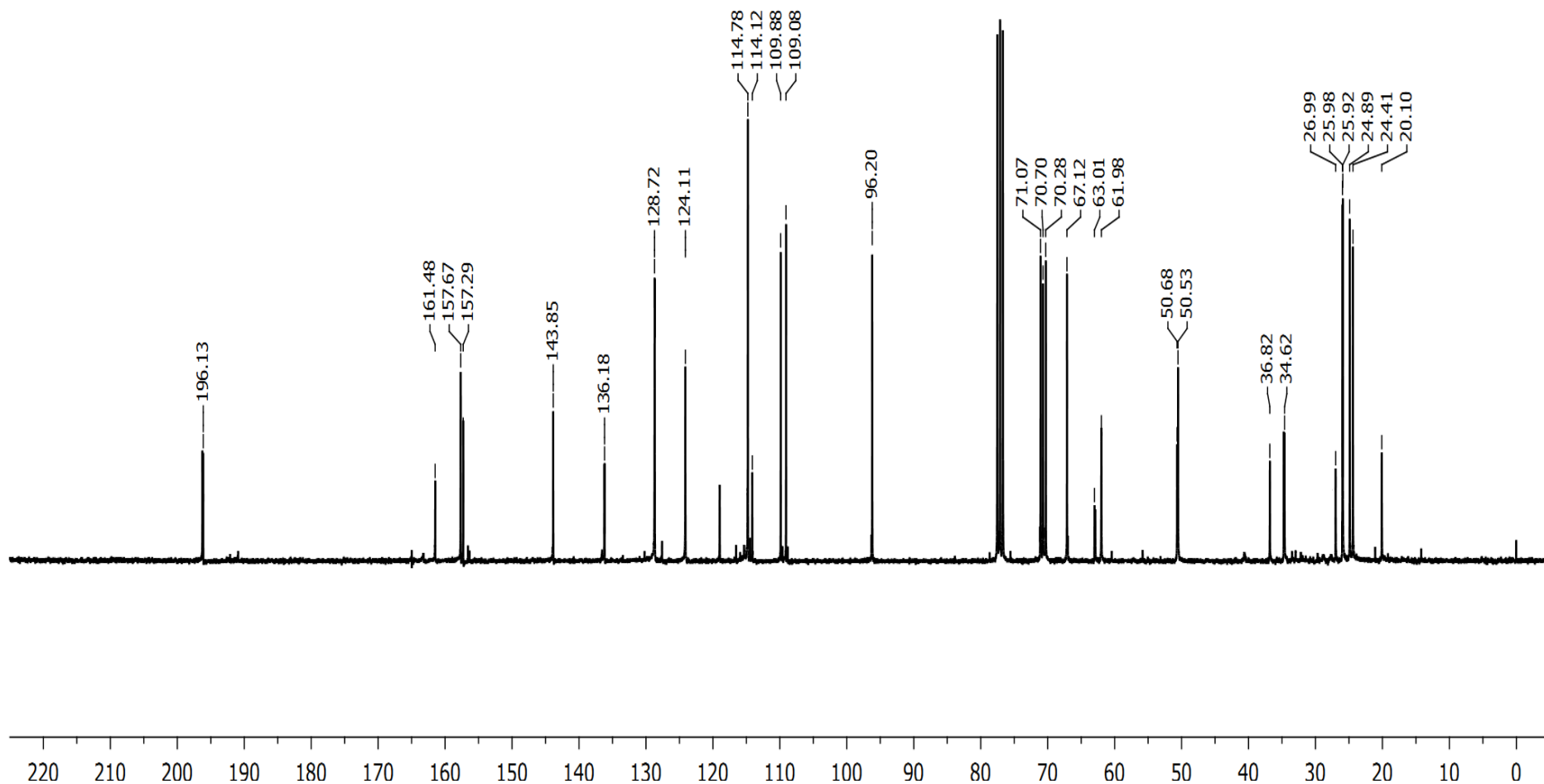


Figura 40- Espectro de RMN de ^{13}C de Click 2 (75 MHz, DMSO- d_6).

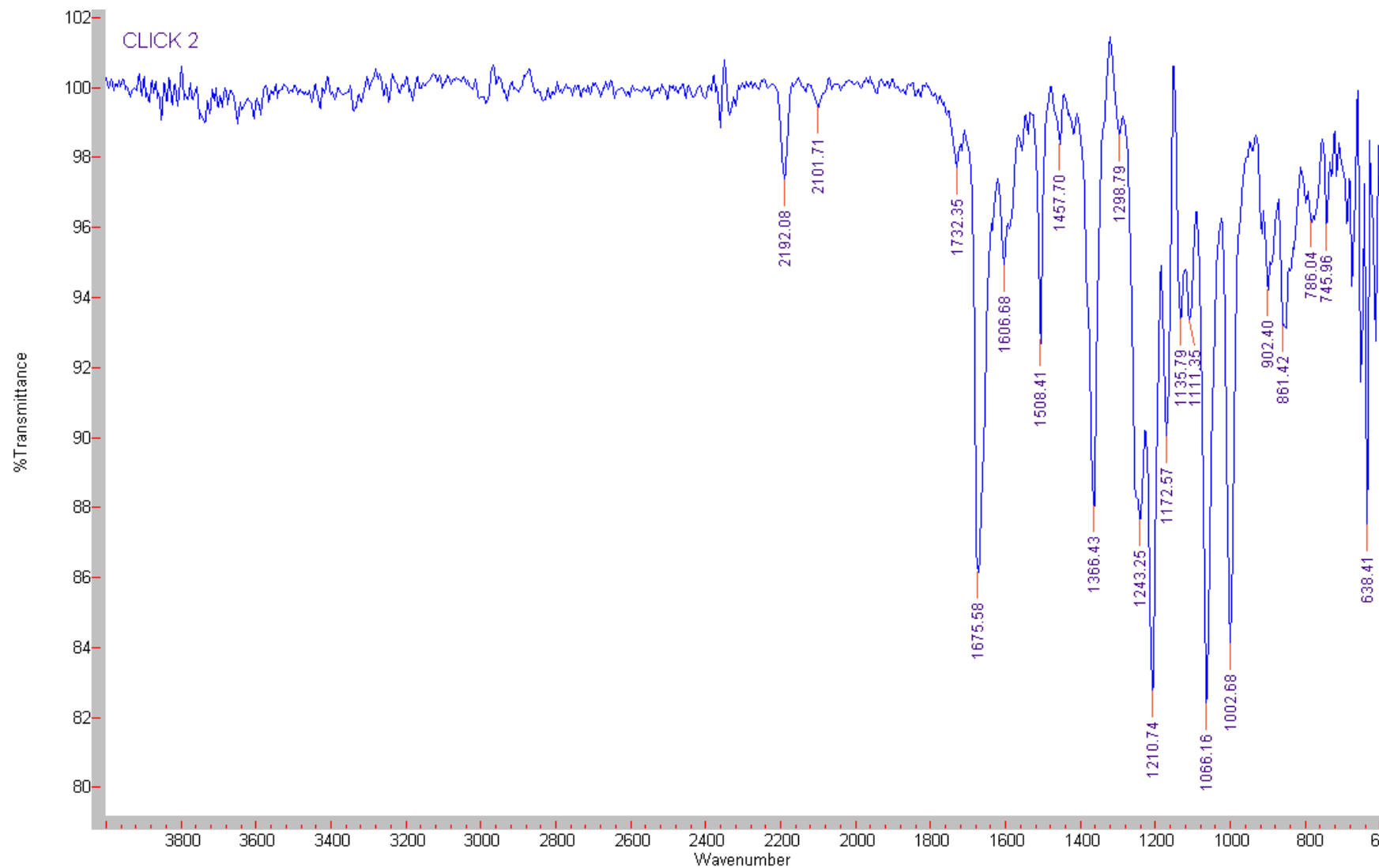


Figura 41- Espectro de IV de Click 2 ($4000\text{-}600\text{ }\text{cm}^{-1}$).